



INSTITUTO POLITÉCNICO NACIONAL

---

CENTRO DE INVESTIGACIÓN EN COMPUTACIÓN

Laboratorio de Inteligencia Artificial  
Laboratorio de Simulación y Modelado

Aprendizaje de fenómenos con representación de estados en  
2D

**TESIS**

QUE PARA OBTENER EL GRADO DE:  
**MAESTRO EN CIENCIAS DE LA COMPUTACIÓN**  
P R E S E N T A:

**Ing. Héctor Daniel Moreno Leyva**

Directores de tesis:  
**Dr. Salvador Godoy Calderón**  
**M. C. Germán Téllez Castillo**



Mexico, CDMX

Octubre 2020

# Resumen

Los autómatas celulares han sido una herramienta importante para el modelado de sistemas físicos, químicos y biológicos, debido a que tienen la capacidad de modelar sistemas dinámicos de manera discreta tanto en el tiempo como en el espacio. Sin embargo, esta herramienta tiene un uso limitado por la complejidad que existe en la generación de las reglas de evolución que modela el sistema completamente. Se ha demostrado que los algoritmos de aprendizaje simbólicos y sub-simbólicos han resultado de gran utilidad para generar modelos interpretables a partir de un conjunto de datos. Por esta razón, en el presente proyecto de investigación se estudió cómo usar estas herramientas de modelado, diseñando e implementando un algoritmo de aprendizaje automático que permita generar reglas a partir de un conjunto de datos representativos obtenidos de cierto fenómeno, sin perder la semántica que se encuentra embebida en los datos de los que se está aprendiendo.



# Abstract

Cellular automaton have been an important tool for the modeling of physical, chemical and biological systems, because of their capacity to model dynamic systems discretely in space and time. However, the use of this tool is limited by the complexity that exists in the selection of the right evolve transition rules to model the system completely. It has been demonstrated that symbolic and sub-symbolic learning algorithms have been very useful to generate interpretative models from a data set. For this reason, in order to facilitate the use of these tools, we are proposing a model that generates a set of rules from a representative data set of a certain phenomena, without losing the semantics of what does the data represent.

## Thanks

I deeply appreciate the support received from CIC-IPN ...

To my family ...

# Índice general

<b>Resumen</b>	<b>I</b>
<b>Abstract</b>	<b>III</b>
<b>Thanks</b>	<b>IV</b>
<b>Índice de figuras</b>	<b>X</b>
<b>Índice de tablas</b>	<b>XI</b>
<b>1. Introducción</b>	<b>13</b>
1.1. Definiciones . . . . .	14
1.1.1. Autómata celular . . . . .	14
1.1.2. Aprendizaje automático . . . . .	14
1.1.3. Algoritmos Genéticos . . . . .	15
1.2. Planteamiento del problema . . . . .	15
1.3. Objetivos . . . . .	16
1.3.1. Objetivo general . . . . .	16
1.3.2. Objetivos específicos . . . . .	16
1.4. Justificación . . . . .	16
1.4.1. Beneficios esperados . . . . .	16
1.4.2. Alcances y límites . . . . .	17
<b>2. Marco teórico</b>	<b>19</b>
2.1. Autómata celular . . . . .	19
2.2. Algoritmos genéticos . . . . .	20
2.2.1. Representación . . . . .	22
2.2.2. Función de aptitud . . . . .	22
2.2.3. Población . . . . .	22

2.2.4.	Mecanismo de selección de padres . . . . .	22
2.2.5.	Recombinación . . . . .	22
2.2.6.	Mutación . . . . .	23
2.2.7.	Mecanismo de selección de sobrevivientes . . . . .	23
2.3.	GA-Nuggets . . . . .	23
2.3.1.	Representación de los individuos . . . . .	23
2.3.2.	Función de aptitud . . . . .	24
2.3.3.	Método de selección y operadores genéticos . . . . .	26
2.4.	Enfoque OCAT (One Clause At a Time) . . . . .	27
2.4.1.	Heurística RA1 . . . . .	28
2.5.	Algoritmo Quine–McCluskey . . . . .	30
<b>3.</b>	<b>Estado del Arte</b>	<b>33</b>
3.1.	Análisis estadístico para el descubrimiento de reglas . . . . .	33
3.2.	Configuración de reglas para un AC con algoritmos evolutivos	34
3.3.	Búsqueda de reglas de evolución para replicar estructuras . . .	39
<b>4.</b>	<b>Métodos y metodologías</b>	<b>41</b>
4.1.	Conjunto de datos . . . . .	41
4.1.1.	Brain . . . . .	42
4.1.2.	Byl . . . . .	43
4.1.3.	Evoloops . . . . .	44
4.1.4.	Mite . . . . .	46
4.2.	Preprocesamiento . . . . .	47
4.2.1.	Discretización . . . . .	47
4.2.2.	Binarización . . . . .	48
4.3.	Algoritmos de aprendizaje . . . . .	49
4.3.1.	LRDEA (Local Rule Discovery Evolutive Algorithm) .	50
4.4.	Simplificación de reglas . . . . .	53
4.5.	Evaluación . . . . .	54
<b>5.</b>	<b>Resultados y análisis</b>	<b>57</b>
5.1.	Brain . . . . .	58
5.2.	Byl . . . . .	60
5.3.	Evoloops . . . . .	63
5.4.	Mite . . . . .	65

<b>6. Conclusiones y trabajo futuro</b>	<b>67</b>
6.1. Trabajo a futuro . . . . .	67
<b>Acrónimos, abreviaturas y siglas</b>	<b>69</b>





# Índice de figuras

3.1. Modelo para la obtención de reglas del autómata celular empleando un algoritmo de optimización de colonia de abejas artificiales. Diagrama traducido de Naghibi and Delavar (2016).	36
3.2. Modelo para la obtención de reglas del autómata celular empleando un algoritmo de optimización de enjambre de partículas. Diagrama traducido de Naghibi and Delavar (2016).	37
3.3. Modelo de evaluación de los algoritmos. Diagrama traducido de Naghibi and Delavar (2016).	38
3.4. Resultados de la evaluación de los algoritmos. Tabla obtenida de Naghibi and Delavar (2016).	38
3.5. Ejemplo de la codificación de las reglas de evolución del autómata con un vecindario de tipo Moore.	39
4.1. Diagrama general de la metodología.	41
4.2. Ejemplo del conjunto de datos	42
4.3. Proceso de simplificación 1.	53
4.4. Diagrama de evaluación camina hacia adelante (Walk-Fordward) obtenida de Hyndman and Athanasopoulos (2018).	54
5.1. Exactitud de el algoritmo RA1 sobre el conjunto de datos del AC Brain.	59
5.2. Exactitud de el algoritmo LRDEA sobre el conjunto de datos del AC Brain.	59
5.3. Exactitud de el algoritmo GA-Nuggets sobre el conjunto de datos del AC Brain.	60
5.4. Exactitud de el algoritmo RA1 sobre el conjunto de datos del AC Byl.	61
5.5. Exactitud de el algoritmo LRDEA sobre el conjunto de datos del AC Byl.	62

5.6.	Exactitud de el algoritmo GA-Nuggets sobre el conjunto de datos del AC Byl. . . . .	62
5.7.	Exactitud de el algoritmo RA1 sobre el conjunto de datos del AC Evoloops. . . . .	63
5.8.	Exactitud de el algoritmo LRDEA sobre el conjunto de datos del AC Evoloops. . . . .	64
5.9.	Exactitud de el algoritmo GA-Nuggets sobre el conjunto de datos del AC Evoloops. . . . .	64
5.10.	Exactitud de el algoritmo RA1 sobre el conjunto de datos del AC Mite. . . . .	65
5.11.	Exactitud de el algoritmo LRDEA sobre el conjunto de datos del AC Mite. . . . .	66
5.12.	Exactitud de el algoritmo GA-Nuggets sobre el conjunto de datos del AC Mite. . . . .	66

# Índice de cuadros

4.1. Función de evolución de Byl CA (Byl, 1989). . . . .	44
4.2. Codificación del vecindario. . . . .	44
4.3. Función de evolución de Evoloops CA (Sayama, 1998) . . . . .	46
4.4. Representación del vecindario. . . . .	50
4.5. Representación de la codificación. . . . .	51



# Capítulo 1

## Introducción

Desde hace algunos siglos, los seres humanos se han beneficiado de la simulación y el modelado de sistemas dinámicos que permiten estudiar y entender algunos fenómenos de la naturaleza. En la actualidad, existe una amplia gama de métodos de simulación y modelado, uno de ellos es el método de los autómatas celulares.

Los autómatas celulares son sistemas dinámicos en los cuales el espacio y el tiempo son discretos. Los estados de las células de una lattice regular, son actualizados con base en reglas de evolución de interacción local. Las reglas de evolución local son obtenidas con base en la experiencia, experimentos, o análisis de la información del problema de tal forma que las restricciones del problema se cumplan.

Hoy en día, este problema se está abordado desde distintos enfoques, sin embargo, muchos de ellos se centran en crear métodos específicos para el área de estudio en el que se está realizando la modelación del fenómeno. Como ejemplo tenemos la búsqueda de reglas para modelar la conversión de un área rural a un área urbana, o la búsqueda de reglas para modelar patrones de bioconvección en algas unicelulares. Existen otros trabajos de propósito más general que emplean algoritmos evolutivos para la generación de reglas, donde el comportamiento específico no es conocido, es decir, se trata de llegar de un estado inicial a un estado final sin tomar en cuenta lo que suceda en los estados intermedios.

Este último trabajo es el más apegado a los objetivos de esta tesis, no obstante, la diferencia principal entre los trabajos es que a nosotros nos interesa tomar en cuenta la información del fenómeno de principio a fin, para crear un conjunto de reglas que repliquen este fenómeno con la mayor precisión

posible, esto es, el autómata celular, debe evolucionar por los estados de los cuales tenemos información.

## 1.1. Definiciones

### 1.1.1. Autómata celular

**Definición 1.1.1** Un autómata celular es una 5-tupla  $(L, d, S, H, f)$ , donde:

- $L$  es una matriz de dimensión  $d$
- $d \in \mathbb{N} \cup \{0\}$  y es la dimensión del autómata
- $S$  es un conjunto finito de elementos llamados estados y es denotado por:  
 $S = \{s_k : k \in \{0, \dots, |S| - 1\}\}$ , donde  $|S|$  es la cardinalidad del conjunto de estados  $S$
- $H$  es un subconjunto finito de  $\mathbb{Z}^d$  llamado vecindad y es denotado por  
 $\{v_j : x_{1,j}, \dots, x_{d,j} : j \in \{1, \dots, |H|\}\}$ , donde los elementos  $v_j$  son llamados vectores vecindad.
- $f$  es una función de  $S^{|H|}$  en  $S$ , llamada la función de evolución o regla

**Definición 1.1.2** Se dice que un autómata celular posee fronteras nulas, si el vecino de la izquierda (o de la derecha) de la célula del extremo izquierdo (o derecho) se considera siempre como cero.

**Definición 1.1.3** Se dice que un autómata celular posee fronteras periódicas, si los extremos derecho e izquierdo son adyacente el uno del otro.

### 1.1.2. Aprendizaje automático

El área de aprendizaje automático es una sub-área de la Inteligencia Artificial (IA), que se basa en distintos enfoques para mejorar el desempeño de un programa computacional sobre una tarea, utilizando la experiencia que se tiene sobre esa tarea. El aprendizaje puede ser de distintos tipos, por ejemplo: aprendizaje supervisado, aprendizaje no supervisado y aprendizaje reforzado.

**Aprendizaje supervisado:** Consiste en el uso de un conjunto de entrenamiento para mejorar el desempeño en el programa computacional utilizando como entrada pares  $(x, y)$  y la tarea es encontrar una función  $f$  que al ingresar  $x$  produzca  $y$  como salida.

**Aprendizaje no supervisado:** Consiste en el uso de un conjunto de entrenamiento donde se conocen valores de entrada  $x$ , pero estos datos no están etiquetados. La tarea entonces es encontrar una función  $f$ , tal que al ingresar  $x$  como entrada produzca como salida  $y$  de tal forma que  $y$  sea igual para todas las entradas  $x$  que compartan cierta medida de similitud.

**Aprendizaje reforzado:** En este tipo de aprendizaje no tenemos conocimiento previo sobre la tarea, sino que se va obteniendo experiencia sobre la tarea conforme se va realizando. En este tipo de aprendizaje, se va ajustando el programa computacional con respecto a la métrica de desempeño obtenida de la tarea en cada iteración.

### 1.1.3. Algoritmos Genéticos

Los Algoritmos Genéticos (AG) son un conjunto de algoritmos de búsqueda que se basan en las mecánicas de la selección natural. Combinan la supervivencia del más apto con el intercambio de información para formar algoritmos de búsqueda con el novedoso instinto de búsqueda humana.

## 1.2. Planteamiento del problema

Dada una secuencia de estados, representados cada uno de ellos como una lattice bidimensional, encontrar un conjunto de reglas de la forma IF *Ant* THEN *Cons*, donde *Ant* es una cláusula en forma normal conjuntiva (FNC) y *Cons* es un valor dentro del dominio del espacio de estados del autómata, tales que, al ingresarlas a un autómata celular, este sea capaz de reproducir los estados de entrada.



## 1.3. Objetivos

### 1.3.1. Objetivo general

**Diseñar un algoritmo nuevo de aprendizaje (simbólico o sub-simbólico) con el fin de aprender reglas que gobiernan un fenómeno para las cuales se tienen rejillas de estados en 2 dimensiones como entrada.**

### 1.3.2. Objetivos específicos

- Revisar y seleccionar algoritmos de aprendizaje de reglas, que sirvan de base para resolver el problema planteado.
- Diseñar un nuevo algoritmo de aprendizaje simbólico o sub-simbólico.
- Diseñar procedimientos específicos para la simplificación de los conjuntos de reglas.
- Diseñar el modelo de autómata celular que sea capaz de reproducir el fenómeno planteado en esta tesis, cuando es alimentado con las reglas aprendidas.
- Usar los errores de aprendizaje y generalización para evaluar los resultados de cada experimento.

## 1.4. Justificación

La búsqueda de las reglas que son utilizadas para que un autómata celular pueda reproducir un fenómeno es una tarea compleja. Esto se debe a que el espacio de búsqueda crece exponencialmente, en la medida que aumenta el número de estados y el tamaño de la vecindad del autómata. Es por esta razón que se requiere tomar en consideración información adicional, que permita ejecutar una búsqueda eficiente en este espacio.

### 1.4.1. Beneficios esperados

Esta tesis genera:

- un algoritmo genético multi-poblacional distribuido, el cual soluciona el problema planteado.
- un sistema que implementa el algoritmo diseñado en esta tesis.

### 1.4.2. Alcances y límites

Este trabajo de tesis, diseño e implemento un algoritmo que aprende un conjunto de reglas de la forma IF *Ant* THEN *Cons*, donde *Ant* es una cláusula en forma normal conjuntiva (FNC) y *Cons* es valor en el dominio de los estados del autómata. Para esta tarea, se utilizan los estados obtenidos de la evolución de autómatas celulares; esto se debe a que la ardua tarea de obtener estados de la forma requerida de fenómenos reales es una tarea compleja; dicha tarea, no se pudo realizar, por falta de tiempo.



# Capítulo 2

## Marco teórico

### 2.1. Autómata celular

Los autómatas celulares son sistemas dinámicos y discretos en espacio, estado y tiempo. Propuestos por los matemáticos John von Neumann y Stanislaw Marcin Ulam como un sistema discreto para crear un modelo reduccionista de la auto-replicación, creando así en 1950 el primer autómata celular como método para calcular el movimiento de un líquido (Biaynicki-Birula and Biaynicka-Birula, 2012).

En 1970, John Horton Conway inventó un autómata celular llamado “Game theory” (Gardner, 1970), el cual consiste de dos dimensiones y dos estados, y que se hizo popular a partir de su publicación (octubre de 1970) en la columna: Mathematical Games de Martin Gardner en la revista Scientific American.

En 1984, Stephen Wolfram clasifica a los autómatas celulares lineales en cuatro clases (Wolfram, 1984). Y en 1985 conjeturó que la regla 110 de un autómata celular elemental era equivalente a una máquina de Turing, cosa que demostró Matthew Cook en el 2004 (Cook, 2004).

Como podemos ver, a través de los años con el incremento del poder de cómputo y del trabajo que se ha ido realizando alrededor de los autómatas celulares, también ha ido en aumento el interés por utilizarlos para modelar sistemas naturales y artificiales.

Los autómatas celulares pueden ser empleados como una alternativa a las ecuaciones diferenciales para modelar sistemas físicos (Toffoli, 1984), y como un modelo de cómputo paralelo y distribuido (Hillis, 1984).

Los autómatas celulares han sido aplicados exitosamente en diferentes áreas del conocimiento, tales como: la simulación de tránsito (Nagel and Schreckenberg, 1992; Simon and Nagel, 1998), la dinámica de fluidos (Margolus et al., 1986) y la formación de patrones (Tamayo and Hartman, 1987; Boerlijst, 1992). Asimismo, se ha tenido éxito en las conexiones con los lenguajes formales (Nordahl, 1989; Culik II et al., 1990) y, como se mencionó anteriormente, en el modelado y simulación de diversos sistemas físicos (Vichniac, 1984; Manneville et al., 2012) y biológicos (Ermentrout and Edelstein-Keshet, 1993).

Como podemos observar, los autómatas celulares tienen un gran alcance en la resolución de diversos problemas.

Los autómatas celulares clásicos poseen las siguientes cinco características (Ilachinski, 2001):

- **Una lattice de células discretas:** El sistema consiste de una estructura llamada lattice la cual puede ser de dimensionalidad  $d$ , donde  $d \in \mathbb{N} \cup \{0\}$
- **Homogeneidad:** Todas las células son equivalentes.
- **Estados discretos:** Cada célula toma un estado de un conjunto finito de estados discretos.
- **Interacciones locales:** Cada célula interactúa solo con las células que están en su vecindad.
- **Sistemas dinámicos discretos:** En cada paso de tiempo discreto, cada célula actualiza su estado actual de acuerdo a una función o regla de evolución que toma como entrada los estados de las células vecinas y da como salida un estado del conjunto de estados.

## 2.2. Algoritmos genéticos

Los algoritmos genéticos fueron desarrollados por John Holland, sus colegas y estudiantes en la Universidad de Michigan. Los objetivos de esta investigación fueron los que se enlistan a continuación.

1. Abstraer y explicar rigurosamente los procesos adaptativos de los sistemas naturales.
2. Diseñar sistemas artificiales de software que retuvieran los mecanismos importantes de los sistemas naturales.

El tema central de la investigación sobre los algoritmos genéticos ha sido la robustez, el balance entre la eficiencia y la eficacia necesaria para sobrevivir en distintos ambientes. Los algoritmos genéticos han probado teórica y experimentalmente que proveen una búsqueda robusta en espacios complejos.

La implementación de un algoritmo genético consta de la definición de:

- La representación de las soluciones.
- Función de aptitud.
- Los operadores de selección, mutación y cruza.
- El tamaño de la población.
- Los valores de probabilidad con la que se aplican los operadores genéticos.

El pseudocódigo del Algoritmo 1, ilustra el funcionamiento de un algoritmo genético simple.

```
1 Inicializar la población con candidatos aleatorios de la solución;  
2 Evaluar cada candidato;  
3 mientras La condicion de paro no se satisfaga hacer  
4   Paso 1: Seleccionar a los padres;  
5   Paso 2: Recombinar los pares de padres;  
6   Paso 3: Mutar a los hijos;  
7   Paso 4: Evaluar a los nuevos candidatos;  
8   Paso 5: Seleccionar a los individuos para la siguiente generación;  
9 fin
```

**Algoritmo 1:** Pseudocódigo de un algoritmo genético simple.

A continuación, se explican de manera general los requerimientos de los algoritmos genéticos y, posteriormente, se precisan detalles para cada algoritmo genético implementado en este trabajo de investigación.

### 2.2.1. Representación

Este paso consiste en crear un vínculo entre el contexto original del problema y espacio de solución del problema, donde la evolución se lleva a cabo. Esto se realiza definiendo cómo es que las soluciones serán especificadas y guardadas para que puedan ser manipuladas por una computadora.

Los objetos que forman posibles soluciones en el contexto original, son llamados fenotipos; mientras que su codificación en el espacio de solución se denominan genotipos.

### 2.2.2. Función de aptitud

El rol de la función de aptitud es representar los requerimientos a los que se debe adaptar la población. Desde la perspectiva de resolución de problemas, representa la tarea a ser resuelta en el contexto evolutivo.

Técnicamente es una función o procedimiento que le asigna una medida cualitativa a los genotipos.

### 2.2.3. Población

La población forma la unidad básica de evolución, los individuos son objetos estáticos que no cambian o se adaptan, es la población la que lo hace. La diversidad de la población es la que indica las diferentes soluciones que hay presentes.

### 2.2.4. Mecanismo de selección de padres

Este mecanismo tiene como objetivo distinguir a los mejores individuos para que sean los padres de la siguiente generación, con base en su calidad. Este mecanismo, junto con el mecanismo de selección de sobrevivientes, son los responsables de generar mejoras en la calidad de las soluciones.

### 2.2.5. Recombinación

Como el nombre lo indica, este operador es un operador variacional que recombina la información de dos padres en uno o más genotipos descendientes. La recombinación es una operación estocástica, esto significa que cómo se eligen los genes de los padres y cómo se combinan, depende del azar.

El principio detrás de la recombinación es sencillo - al aparear a dos individuos con diferentes pero deseables atributos, se puede obtener una descendencia que combine ambas características.

### 2.2.6. Mutación

Este operador variacional unario, cuando es aplicado a un genotipo, resulta en un mutante ligeramente modificado. El operador de mutación siempre es un operador aleatorio y es el causante de ingresar "sangre fresca" a la población.

### 2.2.7. Mecanismo de selección de sobrevivientes

Este mecanismo toma la decisión de qué individuos serán los elegidos para pasar a la siguiente población; esta decisión se basa frecuentemente en sus valores de aptitud. Al contrario del mecanismo de selección de padres, que es aleatorio, este mecanismo es frecuentemente determinista.

## 2.3. GA-Nuggets

El GA-Nuggets (*Genetic Algorithm- Nuggets*), fue diseñado para el modelado de dependencias en dos versiones: la primera versión es de una población centralizada de individuos, donde diferentes individuos pueden representar reglas de predicción para diferentes atributos objetivo. La segunda versión mantiene una población distribuida de muchas sub-poblaciones, donde cada una de ellas evoluciona de manera independiente, pero con la posibilidad de que algunos individuos puedan migrar entre las sub-poblaciones. En esta segunda versión, cada población tiene asociado un atributo objetivo a predecir, es por esto que todos los individuos de cada sub-población representan reglas para predecir el mismo atributo objetivo.

### 2.3.1. Representación de los individuos

Cada individuo representa una regla de predicción candidata de la forma IF *Ant* THEN *Cons*, donde *Ant* es el antecedente de la regla y *Cons* es el consecuente.



El antecedente *Ant* consiste en una conjunción de condiciones, donde cada condición es un par atributo valor de la forma  $A_i = V_{ij}$ , donde  $A_i$  es el  $i$ -ésimo atributo y  $V_{ij}$  es el  $j$ -ésimo valor del atributo  $A_i$ .

Es importante mencionar que el algoritmo solo maneja valores categóricos, por lo que es necesario discretizar los valores.

El consecuente *Cons* consiste en un solo par atributo-valor de la forma  $G_k = V_{kl}$ , donde  $G_k$  es el  $k$ -ésimo atributo objetivo y  $V_{kl}$  es el  $l$ -ésimo valor del atributo  $G_k$ . El conjunto de atributos objetivos son seleccionados por el usuario entre todos los atributos del conjunto de datos y el resto de los atributos se utiliza como atributos predictivos.

Un individuo es codificado en una cadena de longitud fija conteniendo  $z$  genes, donde  $z$  es el número de atributos considerando los atributos predictivos y objetivo.

De los valores de los atributos codificados en el genoma, solo un subconjunto de los valores de los atributos sera decodificado. Para realizar esto, se utiliza un valor que no se encuentre entre los posibles valores de los atributos, por ejemplo  $-1$ , para indicar que ese gen no sera decodificado en un antecedente para la regla; gracias a esto, a pesar de que la longitud de la cadena sea fija, podemos tener un antecedente de longitud variable.

Una vez que se generó el antecedente de la regla, el algoritmo selecciona el atributo objetivo que incrementa la aptitud del individuo.

### 2.3.2. Función de aptitud

La función de aptitud consiste de dos partes: la primera mide el grado de interés de la regla, y la segunda mide su certeza de predicción. El grado de interés de la regla se en dos términos, el primero se refiere al antecedente y el segundo al consecuente de la regla.

El grado de interés de la regla se evalúa con una métrica de teoría de la información, donde el grado de interés para el antecedente de la regla está dado por:

$$AntInt = 1 - \left( \frac{\sum_{i=1}^n InfoGain(A_i)/n}{\log_2(|dom(G_k)|)} \right) \quad (2.1)$$

donde  $n$  es el número de atributos que ocurren en el antecedente de la regla y  $|dom(G_k)|$  es la cardinalidad del dominio (es decir, el número de valores

posibles) del atributo de destino  $G_k$  que se produce en el consecuente. El término  $\log$  se incluye en la fórmula 2.1 para normalizar el valor de  $AntInt$ , de modo que esta medida tenga un valor entre 0 y 1. El  $InfoGain$  viene dado por:

$$InfoGain(A_i) = Info(G_k) - Info(G_k | A_i), \quad (2.2)$$

donde,

$$Info(G_k) = - \sum_{i=1}^{mk} (Pr(V_{kl}) \log_2(Pr(V_{kl}))), \quad (2.3)$$

y

$$Info(G_k | A_i) = \sum_{i=1}^{n_i} \left( Pr(V_{ij}) \left( - \sum_{j=1}^{mk} Pr(V_{kl} | V_{ij}) \log_2(Pr(V_{kl} | V_{ij})) \right) \right). \quad (2.4)$$

Donde  $m_k$  es el número de posibles valores que puede tomar el atributo objetivo  $G_k$ ,  $n_i$  es el número de posibles valores para el atributo  $A_i$ ,  $Pr(X)$  denota la probabilidad de  $X$  y  $Pr(X|Y)$  denota la probabilidad de  $X$  dado  $Y$ .

La métrica que proporciona  $AntInt$  puede ser justificada porque, en general, dado un atributo predictor  $A_i$ , cuya ganancia de información sea alta con respecto a  $G_k$ , nos lleva a considerar que  $A_i$  es un buen predictor de  $G_k$  cuando se considera individualmente, ignorando sus interacciones con otros atributos predictivos.

Por lo anterior, si se considera que el usuario ya conoce los atributos que son buenos predictores del atributo objetivo  $G_k$ , estos atributos podrían no parecerle interesantes al usuario.

Adicionalmente, a los atributos que tienen baja ganancia de información y que aparecen en el antecedente de la regla, el usuario podría considerarlos como irrelevantes por sí solos, sin embargo, cuando interaccionan con los otros atributos podrían generar que éstos aumenten su relevancia, lo que los haría interesantes para el usuario.

La computación del grado de interés del consecuente de la regla está basada en la idea de que mientras más raro sea el valor de un atributo objetivo con respecto a un valor común del atributo, más interesante será para el

usuario. En otras palabras, mientras mas grande sea la frecuencia relativa en el conjunto de entrenamiento del valor predicho por el consecuente, menos interesante será para el usuario.

Puntualmente, la regla para predecir el grado de interés del consecuente de la regla es:

$$ConsInt = (1 - Pr(G_{kl}))^{1/\beta}, \quad (2.5)$$

donde  $Pr(G_{kl})$  es la frecuencia relativa del valor del atributo objetivo  $G_{kl}$ , y  $\beta$  es un parámetro especificado por el usuario.

La segunda parte de la función de aptitud mide la exactitud predictiva de la regla, y está dada por:

$$PredAcc = \frac{|A \& C| - 1/2}{|A|}, \quad (2.6)$$

donde  $|A \& C|$  es el número de ejemplos que satisfacen tanto el antecedente como el consecuente de la regla, y  $|A|$  es el número de ejemplos que satisfacen solo el antecedente. El término  $1/2$  es para penalizar las reglas que cubren pocos ejemplos de entrenamiento.

Finalmente, la función de aptitud sería:

$$Fitness = \frac{w_1(AntInt + ConsInt)/2 + w_2PredAcc}{w_1 + w_2}, \quad (2.7)$$

donde  $w_1$  y  $w_2$  son pesos definidos por el usuario.

### 2.3.3. Método de selección y operadores genéticos

GA-Nuggets utiliza el bien conocido "selección por torneo" con un tamaño de torneo de 2, y utiliza una cruce uniforme extendida con un procedimiento de reparación. En la cruce uniforme existe una probabilidad de aplicar cruce a dos individuos y otra probabilidad para intercambiar cada gen. Después de que se realiza la cruce, el algoritmo verifica si se generó un individuo inválido. Si es así, se inicia un procedimiento de reparación para generar individuos validos. El operador de mutación transforma de forma aleatoria el valor de un atributo en otro, dentro del mismo dominio del atributo.

Además de la cruce y la mutación, se agregan otros dos operadores: insertar-condición y eliminar-condición, que controlan el tamaño de las reglas que están siendo evolucionadas, de la siguiente forma: mientras mayor sea el

número de condiciones en el antecedente de la regla actual, menor será la probabilidad de aplicar el operador insertar-condición; y este operador no se aplicará si el antecedente ya tiene el máximo número de condiciones especificado por el usuario. En cambio, la probabilidad de aplicar el operador eliminar-condición será mayor mientras menor sea el número de condiciones en el antecedente de la regla; y este operador no se aplicará si el antecedente solo tiene una condición.

## 2.4. Enfoque OCAT (One Clause At a Time)

El enfoque "Una Cláusula A la Vez" u OCAT, por sus siglas en inglés (One Clause At a Time) es un enfoque que trata de resolver dos debilidades con las técnicas de aprendizaje bayesianas y conexionistas como lo son las redes neuronales, estas debilidades son las siguientes:

1. Las formas en que estos métodos funcionan y producen recomendaciones pueden no ser atractivos por los expertos en el dominio.
2. El conjunto de entrenamiento puede no contener suficientes ejemplos como para que garanticen resultados estadísticamente significantes. Como resultado estos métodos pueden no ser fidedignos para aplicaciones reales.

Este enfoque está basado en conceptos de lógica matemática y optimización discreta. El enfoque es de naturaleza "avara", en el sentido de que busca aceptar a todos los ejemplos positivos y rechazar tantos ejemplos negativos como sea posible. Esto se realiza sucesivamente para cada una de las cláusulas que genera, hasta que ya no tenga más ejemplos negativos para rechazar. El enfoque OCAT busca generar un conjunto de cláusulas que pueden estar en forma normal conjuntiva (FNC) o forma normal disyuntiva (FND). Es conocido (Peysakh, 1987) que cualquier función Booleana puede ser transformada en forma FNC o FND.

Algunas asunciones que este enfoque toma son las siguientes:

- Se tienen observaciones que describen el comportamiento del sistema a aprender.
- Que un conjunto de  $n$  atributos de estas observaciones describen totalmente el sistema.

- Cada una de las observaciones pertenece a una y solo una de las  $K$  clases.
- Que las observaciones están libres de ruido.
- También asume que la clase a la que pertenece la observación es la correcta.

El siguiente pseudocódigo ejemplifica el funcionamiento general del enfoque OCAT.

```

1  $i = 0; C = \emptyset; \{\text{Inicializaciones}\};$ 
2 mientras  $E^- \neq \emptyset$  hacer
3   Paso 1:  $i \leftarrow i + 1;$ 
4   Paso 2: Encontrar una cláusula  $c_i$  que acepte todos los miembros
      de  $E^+$  mientras rechaza tantos miembros sea posible de  $E^-$ ;
5   Paso 3: Sea  $E^-(c_i)$  el conjunto de miembros de  $E^-$  que son
      rechazados por  $c_i$ ;
6   Paso 4: Sea  $C \leftarrow C \wedge c_i$ ;
7   Paso 5: Sea  $E^- \leftarrow E^- - E^-(c_i)$ ;
8 fin
```

**Algoritmo 2:** Pseudocódigo de enfoque OCAT para generar cláusulas en forma normal conjuntiva.

### 2.4.1. Heurística RA1

El enfoque heurístico, denominado RA1 por *Randomized Algorithm 1*, fue propuesto en (Deshpande and Triantaphyllou, 1998) y es un algoritmo que selecciona de forma aleatoria dentro los mejores atributos candidatos, tal cual se muestra en el algoritmo 3. De esta manera se evita el estancamiento del algoritmo en un mínimo local.

```

1 mientras  $E^- \neq \emptyset$  hacer
2    $C = \emptyset$  (inicialización);
3   mientras  $E^+ \neq \emptyset$  hacer
4     Paso 1: Clasificar en orden descendente todos los atributos
         $a_i \in a$  (donde  $a_i$  es  $A_i$  o  $\neg A_i$ ) de acuerdo a su valor
         $POS(a_i)/NEG(a_i)$ . Si  $NEG(a_i) = 0$ , entonces
         $POS(a_i)/NEG(a_i) = 1000$  (i.e., un valor arbitrariamente
        alto);
5     Paso 2: Formar una lista de candidatos de los atributos que
        tienen los  $l$  valores más altos  $POS(a_i)/NEG(a_i)$ ;
6     Paso 3: Elegir al azar un atributo  $a_k$  de la lista de
        candidatos;
7     Paso 4: Sea  $C \leftarrow C \vee a_k$  el conjunto de atributos en la
        cláusula actual;
8     Paso 5: Sea  $E^+(a_k)$  el conjunto de miembros de  $E^+$ 
        aceptados cuando  $a_k$  se incluye en la cláusula FNC actual;
9     Paso 6: Sea  $E^+ \leftarrow E^+ - E^+(a_k)$ ;
10    Paso 7: Sea  $a \leftarrow a - a_k$ ;
11    Paso 8: Calcular los nuevos valores  $POS(a_i)$  para todos
         $a_i \in a$ ;
12  fin
13  Paso 9: Sea  $E^-(C)$  el conjunto de miembros de  $E^-$  que son
        rechazados por  $C$ ;
14  Paso 10: Sea  $E^- \leftarrow E^- - E^-(C)$ ;
15  Paso 11: Reiniciar  $E^+$ ;
16 fin
17 elegir el sistema Booleano final que tenga el menor número de
    cláusulas, de los sistemas ITRS anteriores.

```

**Algoritmo 3:** La heurística RA1 (Deshpande and Triantaphyllou, 1998)

## 2.5. Algoritmo Quine–McCluskey

Este algoritmo es un método utilizado para la simplificación de funciones Booleanas y fue desarrollado por Willard V. Quine 1955 y extendido por Edward J. McCluskey en 1956. Este método involucra dos pasos:

1. Encontrar los implicantes primos de la función.
2. Usar esos implicantes primos para encontrar los implicantes primos esenciales de la función, así como los otros implicantes primos necesarios para realizar la cobertura de la función.

El siguiente pseudocódigo ejemplifica este algoritmo.

```

1 inicio
2   Organizar los términos mínimos en orden ascendente;
3   Formar como máximo  $n + 1$  grupos en función del número de
    unos presentes en sus representaciones binarias1;
4   inicio
5     Obtener los implicantes primos:
6     mientras no se tengan todos los implicantes primos hacer
7       comparar los términos mínimos presentes en grupos
        sucesivos
        si existe un cambio en la posición de un solo bit
        entonces
8         Tomar ese par de dos términos mínimos;
9         Colocar el símbolo " _ " en la posición del bit de cambio;
10        Mantener el resto de los bits tal como están;
11      fin
12    fin
13  fin

```

<sup>1</sup>Para  $n$  variables Booleanas en una función Booleana, o para  $n$  bits en su equivalente binario de términos mínimos.

```

15
16  inicio
17      Formular la tabla de primos implicantes, que consiste en un
           conjunto de filas y columnas:
           inicio
18               Los implicantes primos se colocan en sentido de las filas;
19               Los términos mínimos se colocan en sentido de las
                   columnas;
20               Colocar un "1" en las celdas correspondientes a los
                   términos mínimos que se cubren en cada implicante
                   primo;
21           fin
22  fin
23  inicio
24      Encontrar los implicantes primos esenciales:
           para todo término mínimo de la función Booleana hacer
25               observar cada columna de la tabla de primos implicantes
                   si el término mínimo está cubierto solo por un implicante
                   primo entonces
26                       este término es un implicante esencial y formará parte
                           de la función Booleana simplificada
27           fin
28       eliminar la fila de cada implicante primo esencial y las
           columnas correspondientes a los términos mínimos que
           están cubiertos en ese implicante primo esencial
29   fin
30 fin
31 fin

```

**Algoritmo 4:** Método Tabular Quine-McCluskey: para simplificar funciones Booleanas.





# Capítulo 3

## Estado del Arte

De los trabajos que existen en la actualidad, podemos mencionar tres que resultan de especial interés para este trabajo de investigación. Las tres metodologías de nuestro interés son las siguientes:

- Búsqueda de reglas locales para un autómata celular mediante el análisis estadístico de las observaciones de un fenómeno.
- Configuración de reglas locales para un autómata celular mediante el empleo de algoritmos evolutivos.
- Búsqueda de reglas locales para un autómata celular mediante el empleo de algoritmos evolutivos para satisfacer un patrón específico.

Estos son algunos de los enfoques para emplear los autómatas celulares como herramienta para modelar fenómenos, que si bien tienen relación con este trabajo de tesis, no se conectan directamente con el.

### 3.1. Análisis estadístico para el descubrimiento de reglas

Uno de los enfoques como se ve en (Kawaharada et al., 2016), se centra en descubrir reglas de evolución para un autómata celular unidimensional, empleando métodos de análisis estadísticos para determinar dichas reglas, a partir de los datos observados de los patrones de bioconvección que son generados como resultado de la respuesta a la estimulación luminosa de un

tipo de alga unicelular llamada *Euglena gracilis*.

El experimento consistió en iluminar por la parte de abajo de un contenedor anular conteniendo una suspensión de *E. gracilis* con una fuerte intensidad de luz. Los individuos, al ser alcanzados por la luz, sufren de fototaxis negativa, lo cual provoca que se acumulen cerca de la superficie.

Como la densidad del *E. gracilis* es mas pesada que el agua, las regiones ricas en esta alga se precipitan al fondo para conducir el flujo local. Estas interacciones entre los individuos y el flujo eventualmente forma patrones de bioconvección.

El proceso se realizó de la siguiente forma:

1. Recopilación de imágenes de los patrones de bioconvección.
2. Transformación de las imágenes recopiladas a escala de grises.
3. Uso de filtros para la eliminación del ruido.
4. Discretización de las imágenes en escala de grises.
5. Se predetermina el número de estados para el sitio  $k$  y se discretiza la información observada acorde a esto.
6. Basado en el número de vecinos establecido  $m$  se calcula la frecuencia con la que aparecen los estados por cada combinación de posibles estados vecinos.
7. Con base en esta frecuencia se determinan las reglas locales para el AC.

### 3.2. Configuración de reglas para un AC con algoritmos evolutivos

En Naghibi and Delavar (2016) se muestra un método para descubrir las reglas de transición de un autómata celular de lattice bidimensional que modele el crecimiento urbano empleando un algoritmo de optimización de colonia de abejas artificiales. Para ello, se utilizan como datos de entrada información multitemporal sensada remotamente de el área urbana de la ciudad de Urmia, Irán.

El autómata celular en este trabajo se define con la siguiente ecuación:

$$P_{ij}^t = S_{ij}^t \times \Omega_{ij}^t \times Con \times e_r, \quad (3.1)$$

donde:

- $P_{ij}^t$  es el potencial de desarrollo de una celda  $ij$ .
- $S_{ij}^t$  es la idoneidad de la celda  $ij$  para cambiar basada en factores relevantes en el tiempo  $t$ .
- $\Omega_{ij}^t$  es el efecto que tiene la densidad de desarrollo del vecindario.
- $Con$  es una condición funcional que se vuelve verdadero cuando se encuentra la idoneidad de la celda.
- $e_r$  es un termino para la perturbación estocástica por errores.

El potencial de desarrollo se compara con un valor umbral para determinar si una célula no urbanizada va a poder ser transformada en una célula urbanizada en el tiempo  $t + 1$ . Entonces, los valores a encontrar son los valores de umbral para los cuales se produce la transición de una célula no urbanizada a una urbanizada.

Como requerimiento para la evaluación del algoritmo, se emplean otras dos técnicas además de la colonia de abejas artificiales, las cuales son:

- Particle Swarm Optimization (PSO)
- Logistic Regression

El diagrama 3.1 muestra el procedimiento que se siguió para la calibración de las reglas del autómata celular, utilizando un algoritmo de optimización de colonia de abejas artificiales.

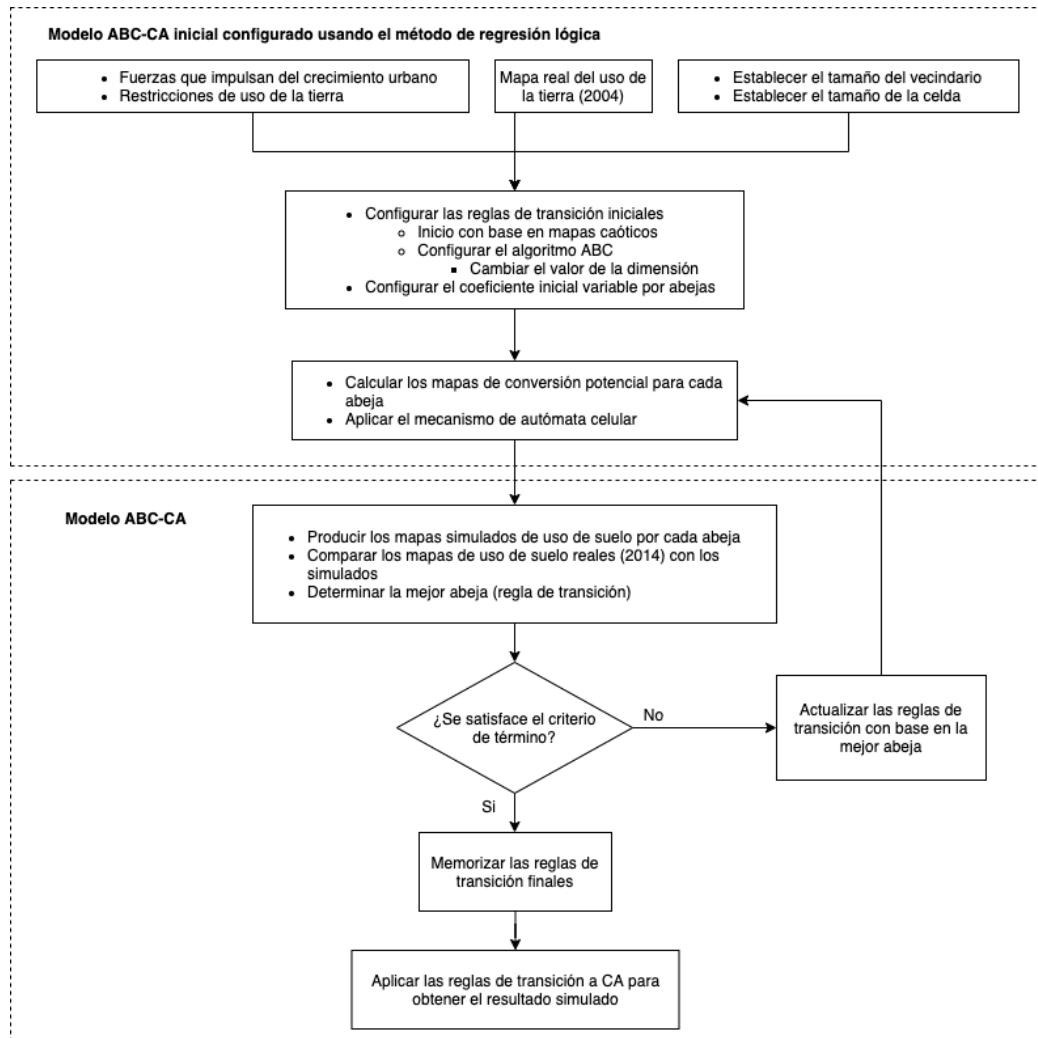


Figura 3.1: Modelo para la obtención de reglas del autómatas celulares empleando un algoritmo de optimización de colonia de abejas artificiales. Diagrama traducido de Naghibi and Delavar (2016).

Como vemos en el diagrama 3.2 y en el anterior, son similares los procesos si no tomamos en cuenta las particularidades de cada algoritmo, un proceso de simulación, uno de evaluación, y por ultimo un proceso de actualización, son las partes que identifican un proceso general de aprendizaje.

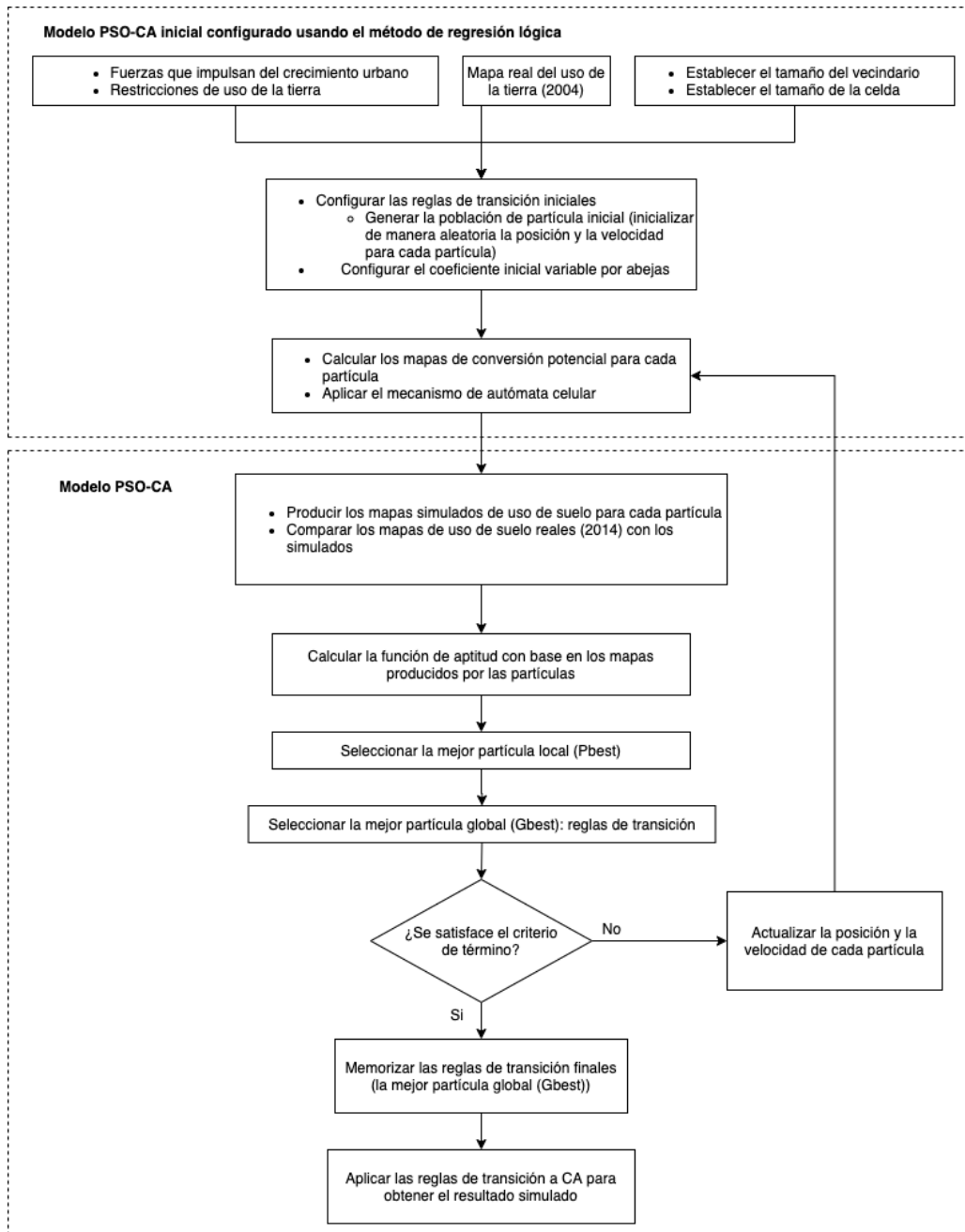


Figura 3.2: Modelo para la obtención de reglas del autómatas celulares empleando un algoritmo de optimización de enjambre de partículas. Diagrama traducido de Naghibi and Delavar (2016).

En diagrama 3.3 vemos el proceso que se siguió para realizar la evaluación de los 3 algoritmos, simulando cada uno por separado, después comparando el resultado de la simulación con la realidad y entonces obteniendo el porcentaje de exactitud de la simulación.

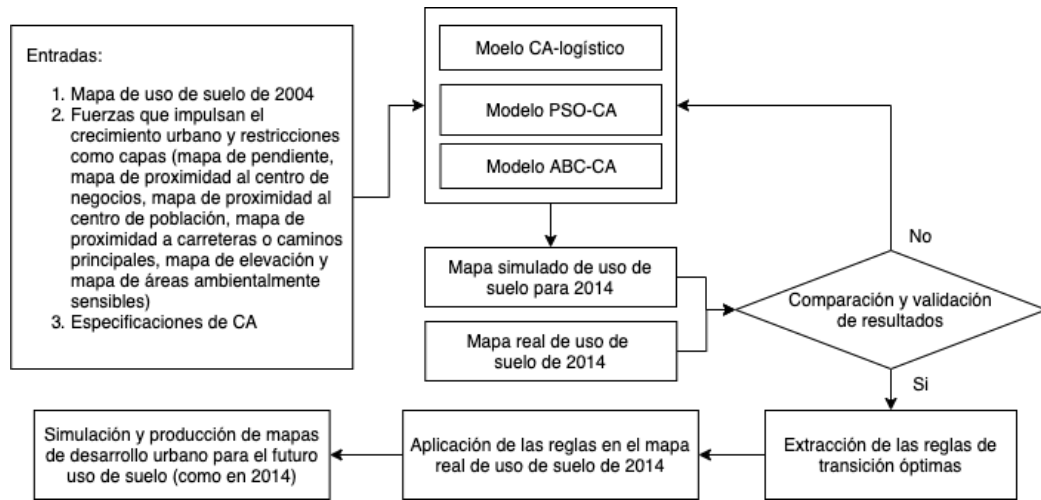


Figura 3.3: Modelo de evaluación de los algoritmos. Diagrama traducido de Naghibi and Delavar (2016).

Validation Method	Prediction Approach		
	CA-Logistic	PSO-CA	ABC-CA
Overall accuracy (%)	82.8	87.5	89
Figure of merit (%)	30	32.6	35.7
False alarms (%)	15.1	7.7	6.2
Misses (%)	2.1	4.8	4.8
Allocation disagreement (%)	17.2	12.5	11
Correctly predicted unchanged cells (%)	75.4	81.4	82.9
Protection of agricultural areas from urbanization (%)	62.2	68.6	74.1
Areas of the simulated gain of the urban lands in 2004–2014 (the actual gain area of the city is 2500 hectares) (hectares)	4960	3155	2824
TOC (closeness to maximum boundary)	low	medium	high

Figura 3.4: Resultados de la evaluación de los algoritmos. Tabla obtenida de Naghibi and Delavar (2016).

Como podemos ver en la tabla de resultados 3.4, el algoritmo de colonia de abejas fue capaz de obtener un mejor rendimiento en comparación con los otros métodos. Esto ayudará a obtener un mejor despeño en la estimación correcta del crecimiento urbano. Sin embargo, el método aquí planteado sigue teniendo ciertos obstáculos como lo es encontrar una correcta definición de la ecuación que determine al autómata celular, por ejemplo la ecuación 3.1 que se usa en este trabajo.

### 3.3. Búsqueda de reglas de evolución para replicar estructuras

El aporte principal de Bidlo (2016) es la creación de un método para la obtención de un conjunto de reglas que puedan replicar un comportamiento específico. Sin embargo, es importante resaltar que no se toma en cuenta conocimiento previo del fenómeno que se quiere replicar. Lo que se utiliza es un algoritmo evolutivo, cuya función de aptitud es dependiente del resultado al que se quiere llegar. La codificación de las reglas viene dada de la siguiente forma:

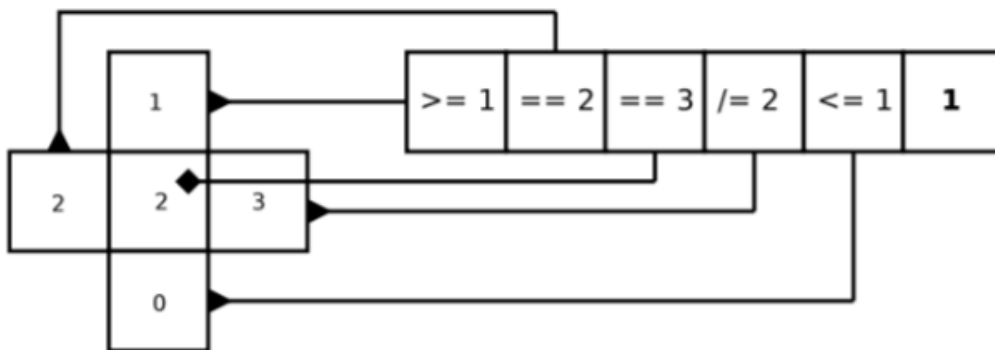


Figura 3.5: Ejemplo de la codificación de las reglas de evolución del autómata con un vecindario de tipo Moore.





# Capítulo 4

## Métodos y metodologías

En esta sección se detalla cuál fue la metodología empleada para llevar a cabo los experimentos. En la figura 4.1 a continuación, se puede ver el panorama general de dicha metodología experimental.

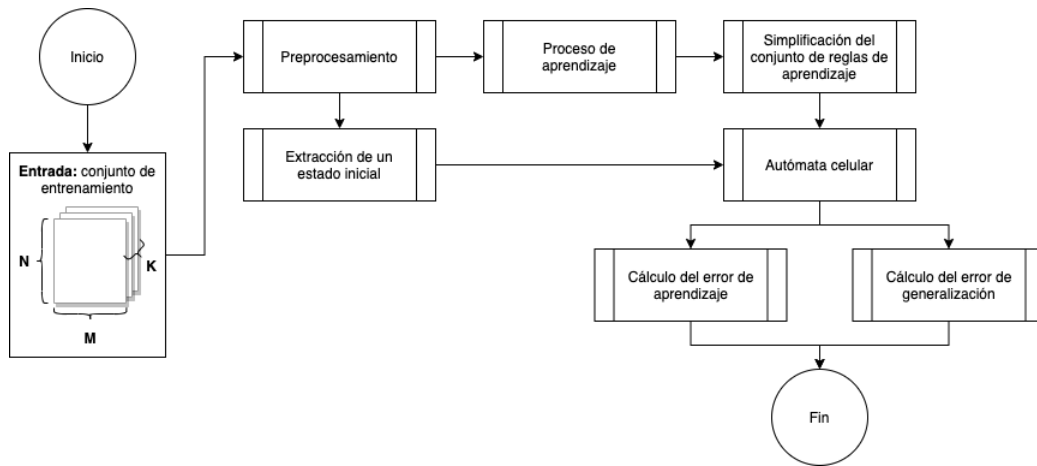


Figura 4.1: Diagrama general de la metodología.

### 4.1. Conjunto de datos

Para realizar los experimentos, se optó por adquirir un conjunto de datos que consiste en los estados de la evolución de 4 diferentes autómatas celulares bidimensionales, los cuales fueron obtenidos de Rucker and Walker (2020).

Para cada uno de los autómatas se obtuvieron 200 imágenes de 50x50 píxeles en escala RGB, que se ejemplifican en las imágenes de la Figura ?? a continuación.

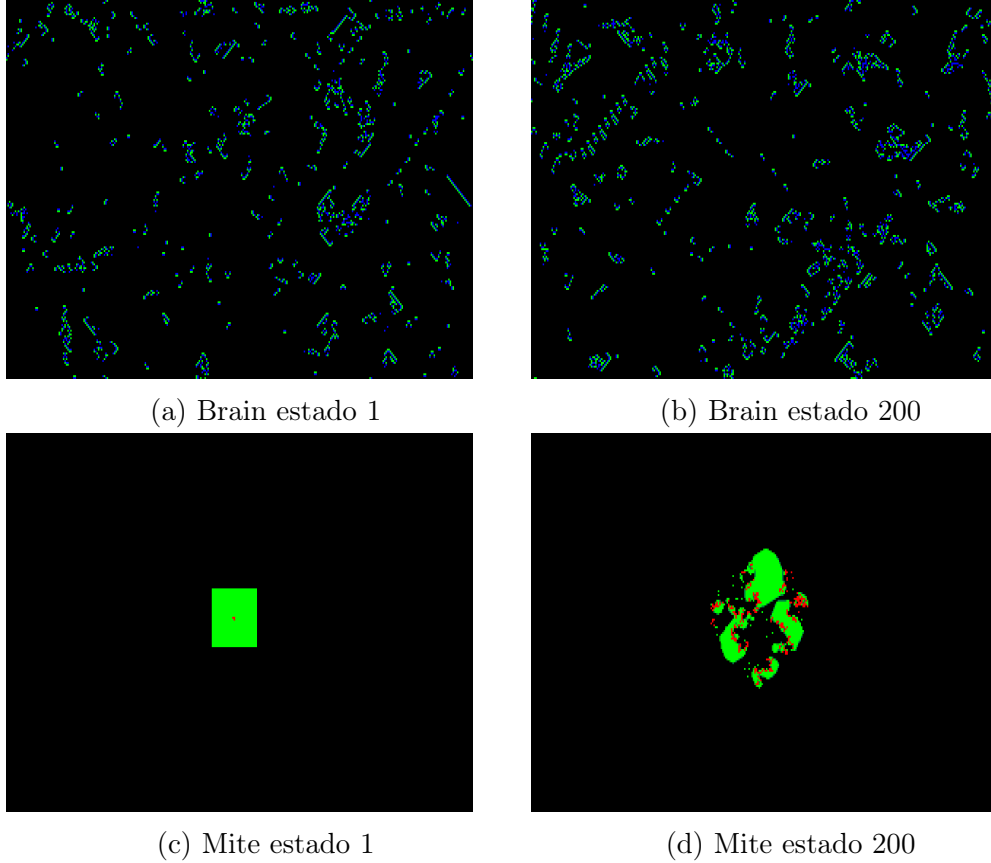


Figura 4.2: Ejemplo del conjunto de datos

A continuación, se mencionan los autómatas celulares en los cuales se implementaron este tipo de imágenes.

#### 4.1.1. Brain

Es un autómata celular bidimensional, desarrollado por Brian Silverman, que consiste en lo siguiente:

- **Vecindario:** es de tipo Moore con 8 vecinos.

- **Espacio de estados:** 3 estados.
  - 0 que representa el estado apagado
  - 1 que representa el estado encendido
  - 2 que representa el estado muriendo.
- **Función de evolución:**
  - 1 si se encuentra apagado y si dos o mas vecinos se encuentran encendidos.
  - 2 si en el estado anterior estaba encendido.
  - 0 si en el estado anterior estaba muriendo.

#### 4.1.2. Byl

Es un autómata celular bidimensional, desarrollado por Jhon Byl (Byl, 1989), que consiste en lo siguiente:

- **Vecindario:** es de tipo Von Neumann con 5 vecinos, en el cuadro 4.2 podemos ver como se codifica el vecindario.
- **Espacio de estados:** consiste de 6 estados del 0 al 5.
- **Función de evolución:** se muestra en el cuadro 4.1

CTRBL $\rightarrow$ I		CTRBL $\rightarrow$ I		CTRBL $\rightarrow$ I		CTRBL $\rightarrow$ I		CTRBL $\rightarrow$ I	
00003	1	10003	3	20215	5	31215	1	40242	4
00012	2	10004	0	20235	3	31223	1	40252	0
00013	1	10033	0	20252	5	31233	1	40325	5
00015	2	10043	1	2 - - - -	2	31235	5	4 - - - -	3
00025	5	10321	3	30001	0	31432	1	50022	5
00031	5	11253	1	30003	0	31452	5	50032	5
00032	3	12453	3	30011	0	3 - - - -	3	50212	4
00042	2	1 - - - -	4	30012	1			50222	0
0 - - - -	0	20000	0	30121	1	40003	0	50322	0
		20015	5	30123	1	40043	0	5 - - - -	2
10000	0	20022	0	31122	1	40212	0		
10001	0	20202	0	31123	1	40232	0		

Cuadro 4.1: Función de evolución de Byl CA (Byl, 1989).

$$\begin{array}{c} T \\ L \quad C \quad R \rightarrow I \\ B \end{array}$$

Cuadro 4.2: Codificación del vecindario.

### 4.1.3. Evoloops

Es un autómata bidimensional, desarrollado por Hiroki Sayama (Sayama, 1998), que consiste en lo siguiente:

- **Vecindario:** es de tipo Von Neumann con 5 vecinos, en el cuadro 4.2 podemos ver como se codifica el vecindario.
- **Espacio de estados:** consiste de 8 estados del 0 al 7.
- **Función de evolución:** se muestra en el cuadro 4.3

---

CTRBL $\rightarrow$ I	CTRBL $\rightarrow$ I	CTRBL $\rightarrow$ I	CTRBL $\rightarrow$ I	CTRBL $\rightarrow$ I	CTRBL $\rightarrow$ I
00001	2	10202	1	11272	7
00004	3	10211	1	11273	5
00012	2	10212	1	11322	1
00015	2	10213	1	11332	1
00021	2	10221	1	11542	4
00024	2	10224	4	11572	7
00042	2	10227	7	11624	4
00045	2	10232	4	11627	7
00075	2	10241	4	12224	4
00102	2	10242	4	12227	7
00214	1	10243	4	12243	4
00217	1	10251	1	12273	7
00232	2	10252	7	12324	4
01122	1	10254	3	12327	7
01212	1	10257	7	12426	6
01232	1	10271	7	12433	3
01242	1	10272	7	12627	6
01245	1	10273	5	20001	2
01252	6	10512	1	20002	2
01262	6	10542	4	20004	2
20172	2	21322	2	21422	2
20202	2	21622	2	21722	2
20203	2	22224	2	22227	2
20205	2	22234	2	22237	2
20206	5	22243	2	22244	2
20207	3	22273	2	22277	2
20212	2	22324	3	22327	3
20215	2	30001	3	30002	2
20221	2	30003	2	30004	3
20222	2	30007	4	50002	5
20223	2	50012	5	50017	5
20227	2	50021	5	50023	2
20229	2	50024	5	50027	5
20232	3	50042	5	50072	5
20234	2	50202	2	50205	2
20237	2	50212	5		

---

---

01272	1	10572	7	20005	2	20322	2	30032	2	50215	2
01275	1	10621	1	20006	0	20342	2	30042	1	50242	5
01342	1	10624	4	20007	1	20345	2	30102	1	50272	5
01372	1	10627	7	20012	2	20372	2	30125	0	50312	0
01422	1	11112	1	20015	2	20412	2	30212	3	60202	2
01425	1	11122	1	20021	2	20422	2	30242	3	60212	2
01432	1	11124	4	20022	2	20442	2	30252	1	60222	0
01435	1	11125	1	20023	2	20512	2	30272	3	60242	2
01442	1	11127	7	20024	2	20542	5	30332	1	60272	2
01462	1	11162	1	20026	0	20572	5	31212	3	61222	0
01722	1	11212	1	20027	2	20612	5	31242	3	62224	0
01725	1	11213	1	20032	4	20621	2	31252	1	62227	0
01756	1	11215	1	20042	3	20642	5	31272	3	70102	0
01762	1	11222	1	20045	2	20672	5	32424	3	70112	0
01772	1	11224	4	20054	5	20712	2	32425	1	70122	0
10001	1	11227	7	20057	5	20722	2	32427	3	70125	0
10012	1	11232	1	20062	0	20772	2	32527	1	70162	0
10021	1	11242	4	20072	2	21122	2	32727	3	70212	0
10024	4	11243	4	20075	2	21222	2	40000	1	70215	0
10027	7	11252	7	20102	2	21223	2	40002	1	70222	1
10121	1	11254	3	20112	2	21224	2	40102	0	70232	0
10124	4	11257	7	20122	2	21227	2	40112	0	70262	6
10127	7	11262	6	20142	2	21232	3	40122	0	70312	0

Cuadro 4.3: Función de evolución de Evoloops CA (Sayama, 1998) .

#### 4.1.4. Mite

Es un autómatas bidimensional, desarrollado por Dan Drake, que consiste en lo siguiente:

- **Vecindario:** es de tipo Moore con 8 vecinos.
- **Espacio de estados:** consiste de 3 estados del 0 al 2.
- **Función de evolución:**
  - mover la posición del predador de manera aleatoria dentro de su vecindario local.

- si no hay presa en su posición el predador muere.
- si hay suficientes presas en su posición se incrementa el número de predadores.
- si hay dos presas juntas se incrementa el número de presas.

## 4.2. Preprocesamiento

Una vez adquiridas las secuencias de imágenes de cada autómata celular, se continúa con los procesos de discretización y binarización que se explican en las subsecciones siguientes.

En términos generales, la discretización consta en pasar las imágenes de los canales RGB a valores discretos, mientras que el proceso de binarización solo se realiza para los datos que se van a ingresar al algoritmo RA1. De cualquier manera, se mencionan a continuación algunas características específicas de cada proceso.

### 4.2.1. Discretización

La implementación de este procedimiento se realizó en el lenguaje Python y se ejemplifica con el siguiente pseudocódigo.



```

entrada: La ruta de la carpeta donde se encuentran las imágenes
salida : Un archivo con formato .pkl que contiene las imágenes
           procesadas.
1  diccionario = {} ; contador = 0; imágenes=[ ] ;
   /* inicializaciones */
2  para cada Imagen en carpeta hacer
3      Paso 1:Imagen' = Transformar imagen a escala de grises;
   /* Se considera a la imagen como una matriz de pixeles
      */
4      nuevaImagen = [ ];
5      para cada fila en Imagen hacer
   /* una fila es un arreglo de pixeles */
6          nuevaFila = [ ];
7          para cada pixel en fila hacer
   /* un pixel corresponde a un valor entre 0 y 255
      despues de la transformación */
8              si pixel no esta en diccionario entonces
9                  Paso 2: diccionario[pixel] = contador;
10                 Paso 3: contador = contador + 1;
11             fin
12             Paso 4: nuevaFila.agregar(diccionario[pixel]);
13         fin
14         Paso 5: nuevaImagen.agregar(nuevaFila);
15     fin
16     Paso 6: imágenes.agregar(nuevaImagen);
17 fin
18 Paso 7: Guardar imágenes en formato .pkl;

```

**Algoritmo 5:** Pseudocódigo para la discretización de las imágenes.

#### 4.2.2. Binarización

Este proceso se realiza solamente para los datos que ingresarán al algoritmo RA1 debido a que este algoritmo solo es capaz de aprender de datos categóricos. El siguiente pseudocódigo ejemplifica este proceso.

```

entrada: MEstado: matriz de estado
salida : El estado binarizado
1 nuevoEstado = [];
2 para cada fila en MEstado hacer
3   nuevaFila = [];
4   para cada celda en fila hacer
5     Paso 1: Encontrar el dominio de la celda;
6     Paso 2: dominio = ordenarAscendente (dominio);
7     para cada valor en dominio hacer
8       si celda < valor entonces
9         Paso 3a: nuevaFila.agregar(1);
10      en otro caso
11        Paso 3b: nuevaFila.agregar(0);
12      fin
13    fin
14  fin
15  Paso 4: nuevoEstado.agregar(nuevaFila);
16 fin

```

**Algoritmo 6:** Pseudocódigo para la binarización de las imágenes.

### 4.3. Algoritmos de aprendizaje

Los algoritmos de aprendizaje utilizados en este trabajo de investigación son los siguientes:

- RA1
- GA-Nuggets
- LRDEA el algoritmo diseñado en este trabajo.

Cabe mencionar que, debido a que no se encontraron las implementaciones de los algoritmos RA1 y GA-Nuggets, fue necesario realizarlas en el lenguaje de programación Python.

### 4.3.1. LRDEA (Local Rule Discovery Evolutive Algorithm)

Nuestra propuesta de solución para el problema, se basa en un algoritmo genético distribuido cuyo funcionamiento combina el principio del algoritmo RA1 —que equivale a ir generando cláusulas que cubran a los ejemplos positivos y rechace a los ejemplos negativos—, y el principio de un algoritmo genético —que implica tener recombinación entre un conjunto de individuos para explorar el espacio de búsqueda—. El algoritmo propuesto maneja una subpoblación por cada uno de los valores en el espacio de estado del autómata celular.

#### Representación

Al igual que el algoritmo GA-Nuggets, la codificación para cada individuo representa una regla de predicción candidata de la forma IF *Ant* THEN *Cons*, donde *Ant* es el antecedente de la regla y *Cons* es el consecuente. El antecedente *Ant* consiste en una conjunción de condiciones, donde cada condición es un par vecino valor de la forma  $n_i = V_i$ , donde  $n_i$  es el  $i$ -ésimo vecino y  $V_i$  es un conjunto de los posibles valores que puede tener  $n_i$  de la forma  $\{v_0, \dots, v_n\}$  donde  $v$  es un valor dentro del dominio del vecino  $n_i$ . El algoritmo solo maneja valores categóricos, por lo que es necesario discretizar los valores. El consecuente *Cons* consiste en un solo valor en el dominio que puede tomar la celda que se esta evaluando  $c$ . Se utiliza el valor -1 para indicar que el par vecino valor no va a formar parte de la regla.

$$\begin{array}{ccccc} n_1 & n_2 & n_3 & & \\ n_4 & c & n_5 & \rightarrow & \text{Cons} \\ n_6 & n_7 & n_8 & & \end{array}$$

Cuadro 4.4: Representación del vecindario.

Finalmente, conviene mostrar una representación de la codificación de un vecindario como el propuesto en el Cuadro 4.4.

$n_1 = V_1$	$n_2 = V_2$	$n_3 = V_3$	$n_4 = V_4$	$c = V_c$	$n_5 = V_5$	$n_6 = V_6$	$n_7 = V_7$	$n_8 = V_8$	Cons
-------------	-------------	-------------	-------------	-----------	-------------	-------------	-------------	-------------	------

Cuadro 4.5: Representación de la codificación.

### Función de aptitud

La función de aptitud propuesta se define por la siguiente ecuación:

$$Fitness(C, E^+) = \sum_{i=1}^{|E^+|} \left( \frac{1}{|C|} \sum_{j=1}^{|C|} Eq(E_{ij}^+, C_j) \right) \quad (4.1)$$

$$Eq(x, y) = \begin{cases} 1 & \text{if } x = y \\ 0 & \text{otherwise} \end{cases} \quad (4.2)$$

donde:

- $C$  es el cromosoma.
- $|C|$  es la cardinalidad del cromosoma.
- $E^+$  es un subconjunto de los ejemplos que pertenece a la clase para la cual se esta evaluando la aptitud del cromosoma.
- $|E^+|$  es la cardinalidad de  $E^+$ .
- $E_{i,j}^+$  es un valor en la posición  $j$  del elemento en la posición  $i$  de  $E^+$ .
- $C_j$  es el valor del cromosoma en la posición  $j$ .

### Mecanismo de selección de padres

Para el mecanismo de selección de padres se eligió la *selección por torneo*, que consiste en lo siguiente:

- entrada:** k (la cantidad de individuos participantes en el torneo)
- 1 **Paso 1:** Escoger k individuos de la población aleatoriamente;
  - 2 **Paso 2:** Escoger el individuo más apto del torneo con probabilidad  $p$ ;
  - 3 **Paso 3:** Escoger el segundo individuo más apto con probabilidad  $p(1-p)$  ;
  - 4 **Paso 4:** Escoger el k-esimo individuo más apto con probabilidad  $p(1-p)^k$  ;

**Algoritmo 7:** Pseudocódigo de selección por torneo.

### Cruza

Para el proceso de cruce se seleccionó el método de *cruce en un punto* y se lleva a cabo de la siguiente manera.

- entrada:** padre1, padre2
- 1 **Paso 1:** Escoger de forma aleatoria el punto p donde p es menor a la cardinalidad de padre1 y padre2;
  - 2 **Paso 2:** Partir el cromosoma del padre1 y el padre2 en el punto p;
  - 3 **Paso 3:** Recombinar la primera mitad del padre1 con la segunda mitad del padre2 para generar al hijo1;
  - 4 **Paso 4:** Recombinar la segunda mitad del padre1 con la primera mitad del padre2 para generar al hijo2;

**Algoritmo 8:** Pseudocódigo de cruce en un punto.

### Mutación

El operador de mutación consiste en dos partes, la primera es la probabilidad de realizar la mutación o no, y la segunda es la selección del gen que se va a mutar.

Finalmente, el gen mutado puede adquirir un nuevo valor en el conjunto de valores o puede removerse uno de estos valores.

### Mecanismo de selección de sobrevivientes

Para el mecanismo de selección de sobrevivientes es necesario ordenar los individuos de cada subpoblación y se dividen en dos; se procede a tomar los

primeros  $n$  elementos de cada una de las mitades, y se descarta el resto.

#### 4.4. Simplificación de reglas

El proceso de simplificación de reglas se divide en dos partes:

1. remover redundancia en las cláusulas.
2. emplear el algoritmo Quine–McCluskey para minimizar las cláusulas.

El primer método de simplificación sirve para eliminar términos que no aportan nueva información, esto es por que otros términos contienen a estos. En el siguiente ejemplo podemos ver como es este proceso.

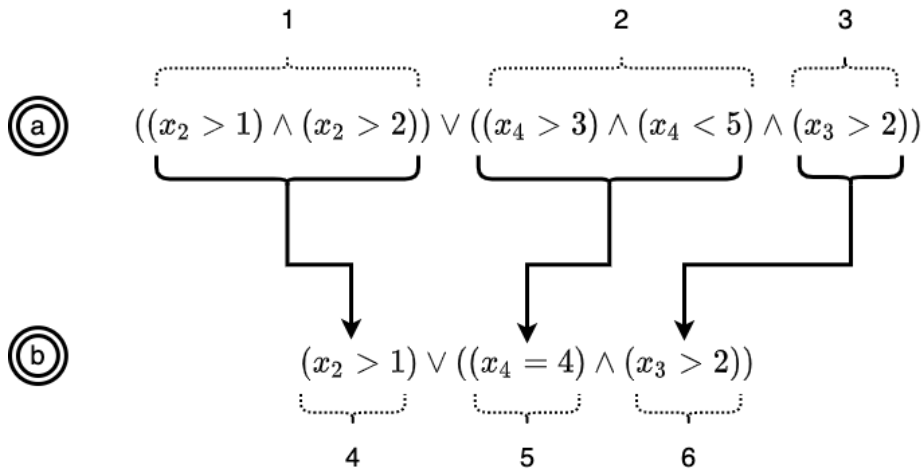


Figura 4.3: Proceso de simplificación 1.

En el diagrama de la figura 4.3 vemos cómo, en la cláusula  $a$ , los términos 1 y 2 pueden ser reducidos a los términos 4 y 5 de la cláusula  $b$ , respectivamente. Asimismo, podemos ver cómo el término 3 de  $a$  no se puede reducir, por lo que pasa a  $b$  directamente.

Para la simplificación 2 de las reglas se utiliza el algoritmo desarrollado por Willard V. Quine 1955 y extendido Edward J. McCluskey en 1956. Este mecanismo solo se emplea para la simplificación de las reglas generadas por el algoritmo RA1.

## 4.5. Evaluación

En el proceso de evaluación se emplea la validación *camina hacia adelante* o *Walk-Fordward*, que se ejemplifica en el Algoritmo 9.

```

/* el rango va del 80% del total de datos al 100% */
1 para cada  $i$  en rango(160,200) hacer
    /* tomamos un subconjunto del conjunto de datos */
    2 Paso 1: entrenamiento = datos[0:(i-1)];
    /* tomamos un elemento adicional del conjunto de datos */
    3 Paso 2: testing = datos[i] ;
    /* aprendemos del conjunto de entrenamiento */
    4 Paso 3: aprender(entrenamiento);
    5 Paso 4: vExactitud = exactitud(entrenamiento[i-1]);
    6 Paso 5: tExactitud = exactitud(testing);
7 fin

```

**Algoritmo 9:** Pseudocódigo de validación camina hacia adelante (Walk-Fordward).

La toma de los subconjuntos de datos se representa en la Figura 4.4, donde podemos observar la dinámica de "caminar" hacia adelante.

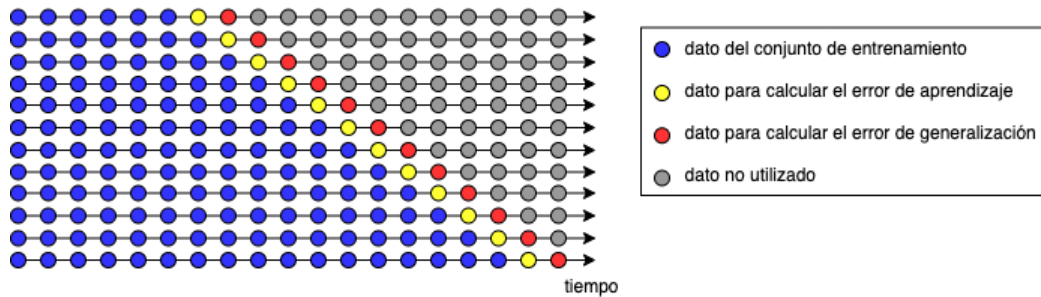


Figura 4.4: Diagrama de evaluación camina hacia adelante (Walk-Fordward) obtenida de Hyndman and Athanasopoulos (2018).

Por último, como métrica de desempeño del autómata propuesto, se emplea la *exactitud* (ecuación 4.3) para calcular el error de aprendizaje y el error de generalización.

$$exactitud = \frac{VP + VN}{VP + FP + VN + FN} \quad (4.3)$$

donde:

- $VP$  : verdaderos positivos.
- $VN$  : verdaderos negativos.
- $FP$  : falsos positivos.
- $FN$  : falsos negativos.





# Capítulo 5

## Resultados y análisis

Como se mencionó anteriormente, se implementaron tres algoritmos diferentes (RA1, LRDEA y GA-Nuggets) sobre los datos obtenidos de tres autómatas celulares diferentes (AC Brain, AC Byl, AC Evoloops y AC Mite). Para cada uno de los experimentos realizados con los autómatas celulares, se utilizaron los siguientes parámetros:

- **Vecindario:** de tipo Moore con 8 vecinos.

- **Parámetros de GA-Nuggets:**

- $w1 = 1$
- $w2 = 2$
- $\beta = 2$
- $pMutacion = 0,05$
- $noHijos = 2$
- $poblacion = 100$
- $noIteraciones = 100$
- $maximoAntecedente = 50$
- $minimoAntecedente = 3$

- **Parámetros de LRDEA:**

- $noHijos = 2$
- $poblacion = 100$

- $pMutacion = 0,05$
- $noIteraciones = 100$

■ **Parámetros de RA1:**

- $l = 5$

No está de más mencionar que la naturaleza del algoritmo RA1 requiere de menos parámetros definidos como los algoritmos anteriores porque este algoritmo depende menos de factores aleatorios.

## 5.1. Brain

En las figuras 5.1, 5.2 y 5.3 se muestran los resultados de exactitud de los tres algoritmos implementados en los datos del AC Brain. Estos resultados se muestran a partir del estado 160 y hasta el estado 200 debido a que estos son los estados en los que se calculan los errores de aprendizaje y generalización (datos amarillos y rojos del diagrama de la figura 4.4), mientras que los datos previos (azules) son utilizados para el entrenamiento.

Como se puede observar en la figura 5.1 el algoritmo RA1 tuvo un muy buen desempeño con un promedio de exactitud de 89 % dentro del conjunto de datos y de 85 % en fuera del conjunto a comparación del algoritmo LRDEA (figura 5.2) que obtuvo un promedio de 88 % y 81 % respectivamente y el algoritmo GA-Nuggets con 88 % y 79 % (figura 5.3).

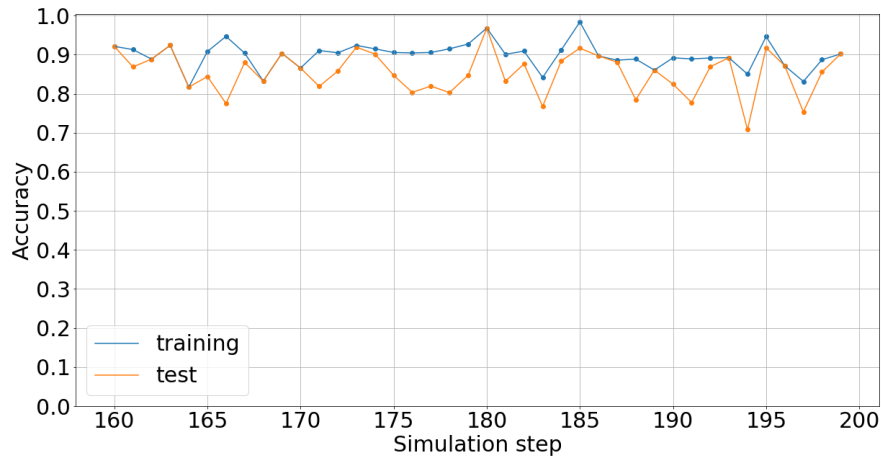


Figura 5.1: Exactitud de el algoritmo RA1 sobre el conjunto de datos del AC Brain.

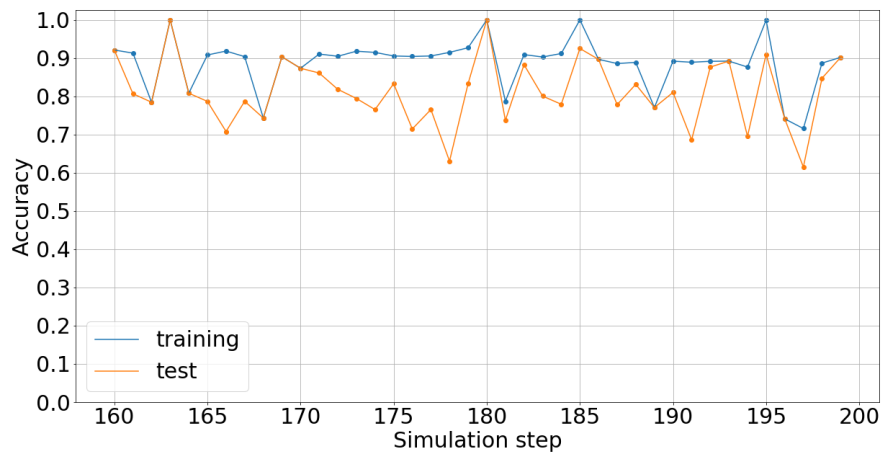


Figura 5.2: Exactitud de el algoritmo LRDEA sobre el conjunto de datos del AC Brain.

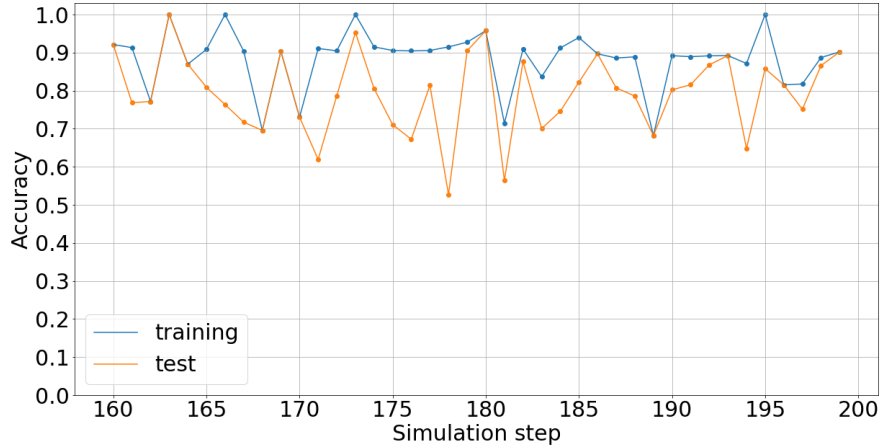


Figura 5.3: Exactitud de el algoritmo GA-Nuggets sobre el conjunto de datos del AC Brain.

## 5.2. Byl

De manera similar a la presentación de los resultados anteriores, en las figuras 5.4, 5.5 y 5.6 se muestran los resultados de exactitud de los tres algoritmos implementados en los datos del AC Byl.

Como se logra apreciar en las figuras a continuación, en ciertos estados se logró obtener una exactitud del 100 %, esto es debido a que ciertos estados tienen un comportamiento más trivial que los otros, lo que resulta más fácil de aprender para los algoritmos.

De la misma forma que los resultados para los datos del AC Brain, el algoritmo que obtuvo mejor valor de exactitud fue el RA1 con un promedio de 90 % en el conjunto de entrenamiento y un 85 % fuera del conjunto de entrenamiento. A su vez, el algoritmo LRDEA obtuvo un promedio de 91 % y 84 % , lo que nos indica que el algoritmo tiene más variación con respecto al RA1. Por último, el algoritmo GA-Nuggets obtuvo 89 % y 77 % con mayor variación y menor valor de exactitud con respecto a los otros dos algoritmos.

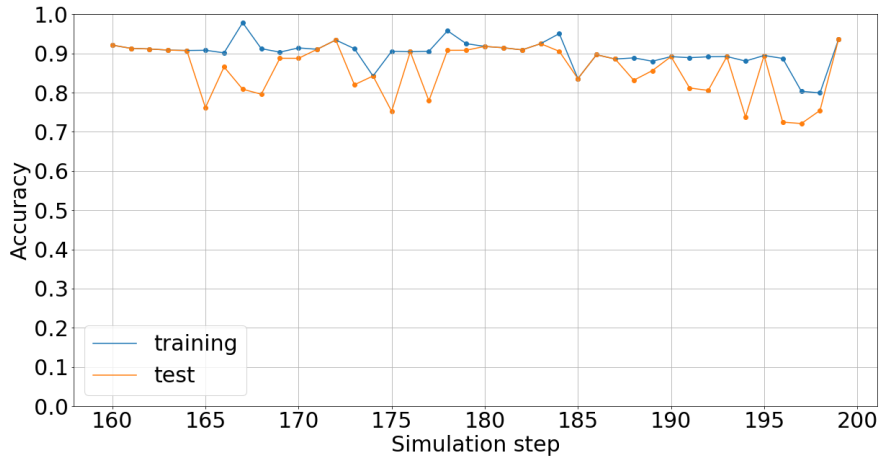


Figura 5.4: Exactitud de el algoritmo RA1 sobre el conjunto de datos del AC Byl.

Es interesante notar cómo en la figura 5.5 y la figura 5.6 se ve un comportamiento similar, a comparación con la figura 5.4. Esto puede deberse a las dinámicas que rigen a los algoritmos genéticos, se podría esperar que el algoritmo RA1 sea menos propenso a variaciones por que depende en menor medida de la probabilidad.

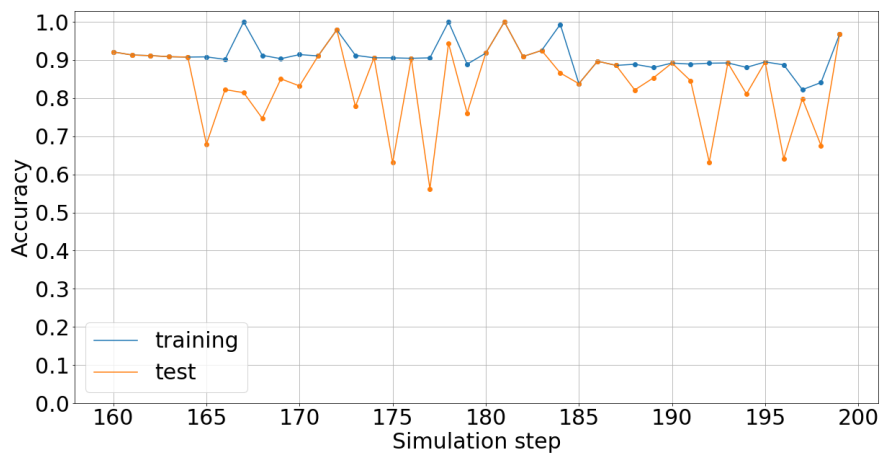


Figura 5.5: Exactitud de el algoritmo LRDEA sobre el conjunto de datos del AC Byl.

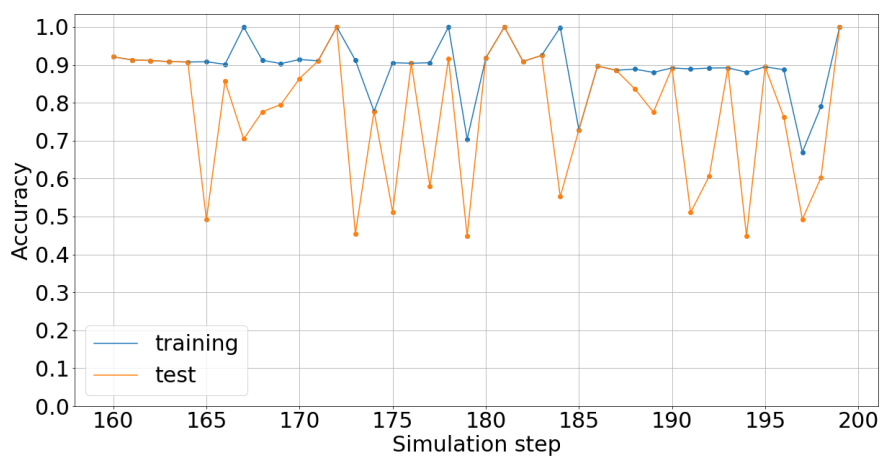


Figura 5.6: Exactitud de el algoritmo GA-Nuggets sobre el conjunto de datos del AC Byl.

### 5.3. Evoloops

Al igual que con Byl este experimento fue uno en los cuales se obtuvo mejor desempeño, con un promedio de 90 % de exactitud dentro del entrenamiento y 86 % fuera de entrenamiento, el algoritmo RA1 fue el que obtuvo la mejor exactitud. En segundo lugar, se encuentra el algoritmo LRDEA con 89 % y 82 % y, por último, el algoritmo GA-Nuggets con 88 % y 78 %.

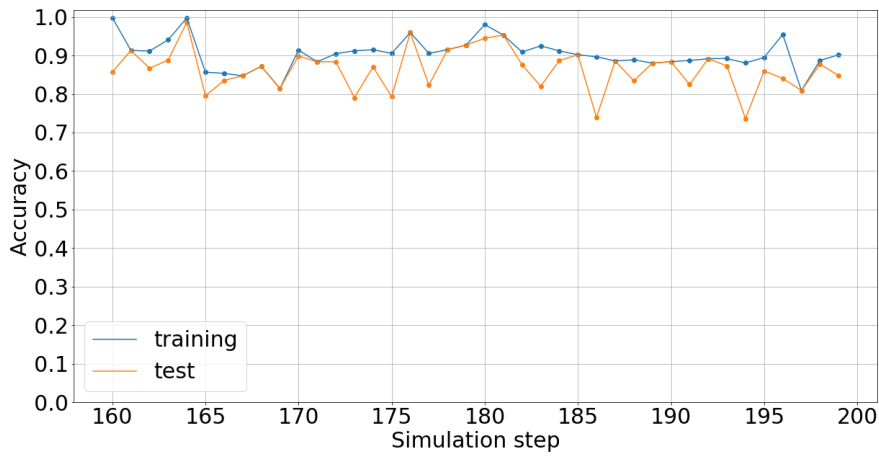


Figura 5.7: Exactitud de el algoritmo RA1 sobre el conjunto de datos del AC Evoloops.



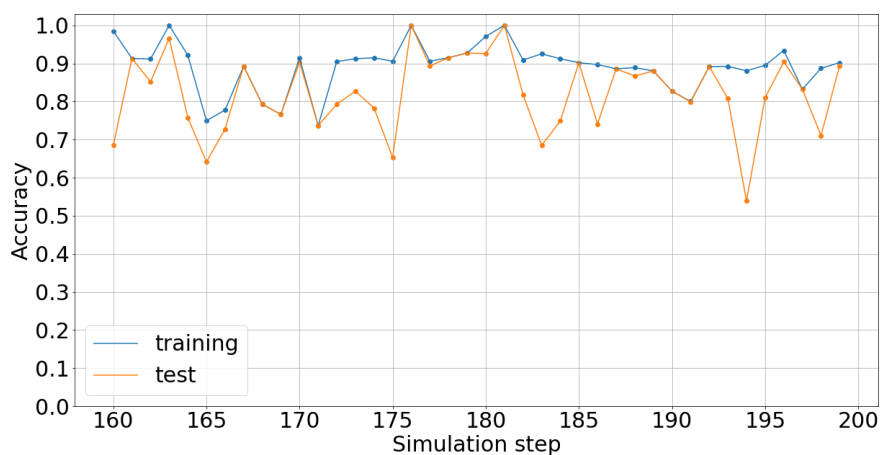


Figura 5.8: Exactitud de el algoritmo LRDEA sobre el conjunto de datos del AC Evoloops.

En la siguiente gráfica se puede observar cómo el GA-Nuggets puede tener mucha variación en su exactitud, en comparación a los otros dos algoritmos.

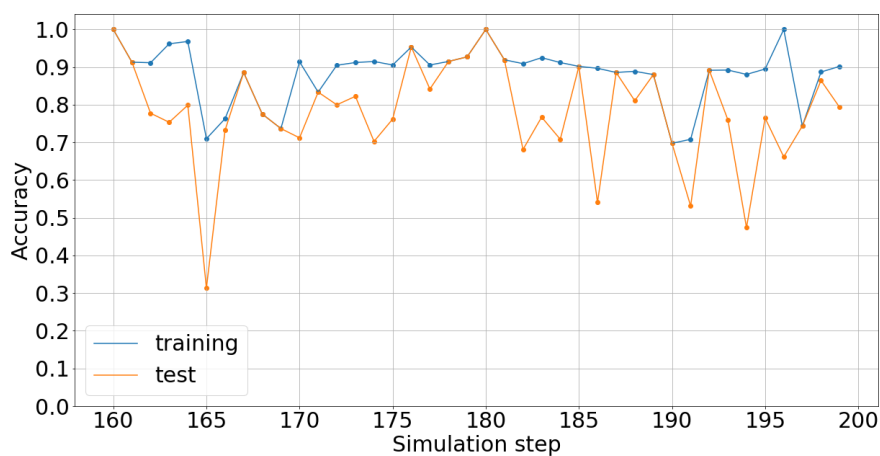


Figura 5.9: Exactitud de el algoritmo GA-Nuggets sobre el conjunto de datos del AC Evoloops.

## 5.4. Mite

En este experimento, fue en el que se obtuvieron los resultados más bajos, sin embargo, aun así logramos ver que la propuesta (LRDEA) sigue siendo capaz de mantenerse a un buen nivel, en comparación con los otros dos algoritmos.

Los promedios de exactitud dentro y fuera de entrenamiento para los datos del AC Mite, son los siguientes: RA1 con 89 % y 84 %, LRDEA con 89 % y 81 %, y por último GA-Nuggets con 88 % y 75 %, respectivamente.

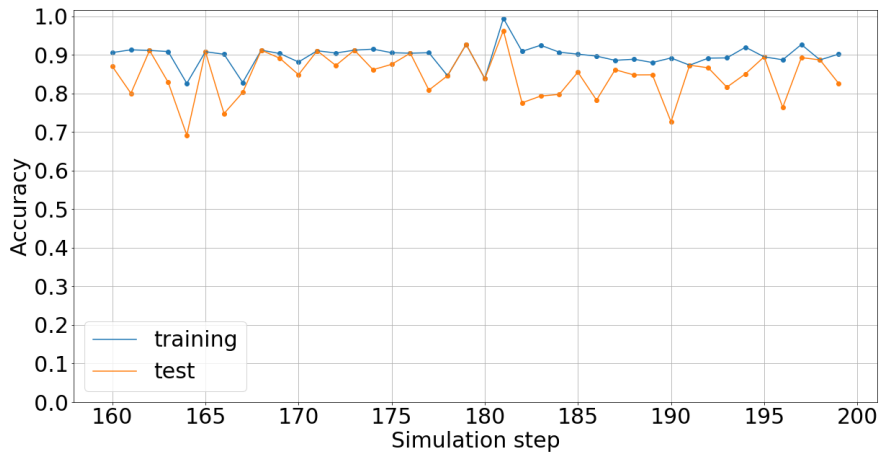


Figura 5.10: Exactitud de el algoritmo RA1 sobre el conjunto de datos del AC Mite.

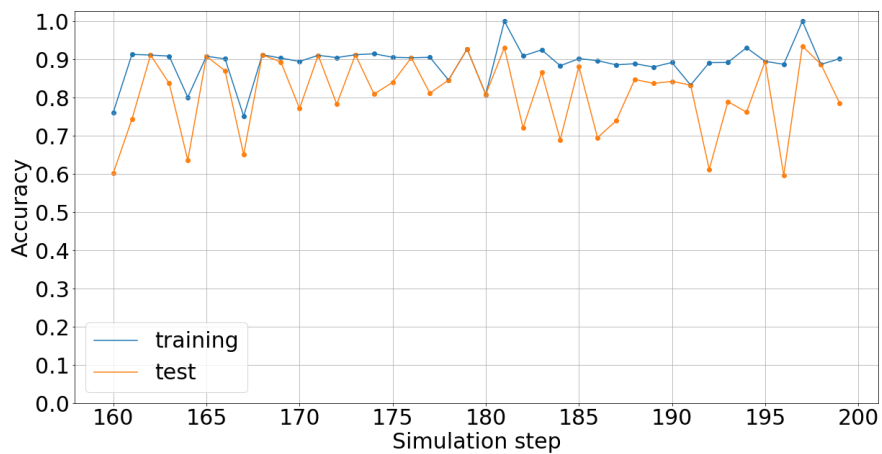


Figura 5.11: Exactitud de el algoritmo LRDEA sobre el conjunto de datos del AC Mite.

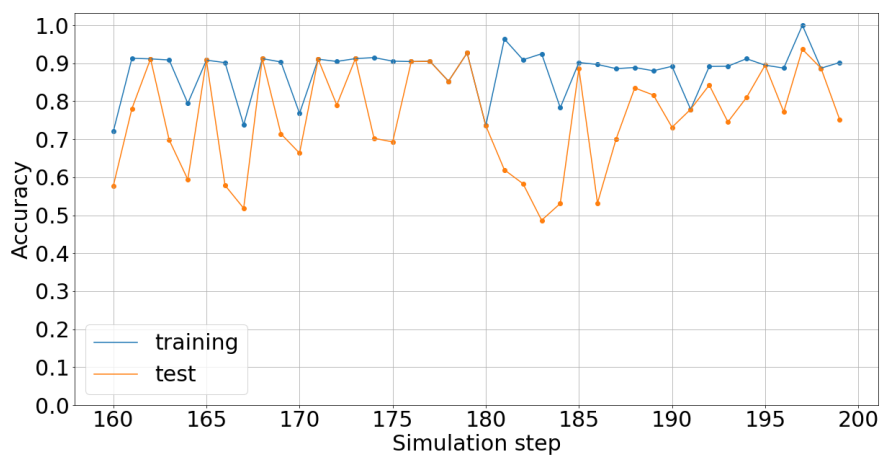


Figura 5.12: Exactitud de el algoritmo GA-Nuggets sobre el conjunto de datos del AC Mite.

# Capítulo 6

## Conclusiones y trabajo futuro

Con la realización de este trabajo de investigación se lograron cumplir con los objetivos propuestos, es decir, se diseñó e implementó un nuevo algoritmo de aprendizaje sub-simbólico que es capaz de aprender un conjunto de reglas de la forma IF *Ant* THEN *Cons*, y estas reglas son capaces de reproducir el fenómeno aprendido, con una exactitud arriba del 80 %.

Con base en los resultados obtenidos en los experimentos realizados, se puede concluir que el algoritmo LRDEA es capaz de aprender a partir de un cierto conjunto de datos proporcionado; además de que lo hace con un porcentaje de exactitud que sobrepasa al algoritmo GA-Nuggets. Sin embargo, como se puede observar en las figuras 5.2, 5.5, 5.8 y 5.11, es evidente que todavía es posible mejorar esta propuesta.

Esto se debe principalmente a que la propuesta (LRDEA) puede llegar a tener variaciones muy grandes entre la exactitud dentro del conjunto del entrenamiento y fuera de entrenamiento, en comparación con el algoritmo RA1, que se caracteriza por tener un comportamiento más estable, al menos en los experimentos realizados.

### 6.1. Trabajo a futuro

Como trabajo a futuro próximo, se propone realizar la experimentación utilizando otros conjuntos de datos, como por ejemplo: imágenes aéreas de áreas urbanas para el aprendizaje de reglas que simulen el crecimiento de población u otros conjuntos de datos cuya representación de estados sea un conjunto de lattices bidimensionales.

De igual manera, se propone investigar una función de aptitud diferente, con la cual sea posible a reducir la variación entre la exactitud dentro y fuera de entrenamiento.

Finalmente, se propone la implementación de otras métricas de evaluación que incluyan tomar en cuenta el tiempo de cómputo que cada algoritmo tomó para llevar a cabo estos u otros experimentos, o bien, diversos métodos de evaluación estadística.

# Acrónimos, abreviaturas y siglas

En éste apartado se listan los acrónimos, abreviaturas y siglas usadas en éste texto. Se incluye una descripción breve, la respectiva traducción en los casos que así lo requieren entre paréntesis. y la página donde aparece citada por primera vez a fin de que el lector pueda conocer el contexto en el que fue enunciada.

ABC	Artificial Bees Colony, página 27
AC	Autómata celular, página 5
AG	Algoritmo Genetico, página 5
FN	Falsos Negativos, página 41
FNC	Forma Normal Conjuntiva, página 5
FND	Forma Normal Disyuntiva, página 19
FP	Falsos Positivos, página 41
GA-Nuggets	Genetic Algorithm- Nuggets, página 19
IA	Inteligencia Artificial, página 5
LRDEA	Local Rule Discovery Evolutive Algorithm, página 41
OCAT	One Clause At a Time, página 19
PSO	Particle Swarm Optimization, página 27
RA1	Randomized Algorithm 1, página 19
RGB	Red Green Blue, página 41

---

VN    Verdaderos Negativos, página 41

VP    Verdaderos Positivos, página 41

# Bibliografía

- Biaynicki-Birula, I. and Biaynicka-Birula, I. (2012). *Modeling reality: how computers mirror life*. Oxford University Press.
- Bidlo, M. (2016). On routine evolution of complex cellular automata. *IEEE Transactions on Evolutionary Computation*, 20(5):742–754.
- Boerlijst, M. (1992). k hogeweg, p.(1992). self-structuring and selection: Spiral waves as a substrate for prebiotic evolution. *Artificial Life II. Addison Wesley, Reading, Mass*, page 255.
- Byl, J. (1989). Self-reproduction in small cellular automata. *Physica D: Nonlinear Phenomena*, 34(1):295 – 299.
- Cook, M. (2004). Universality in elementary cellular automata. *Complex systems*, 15(1):1–40.
- Culik II, K., Hurd, L. P., and Yu, S. (1990). Computation theoretic aspects of cellular automata. *Physica D: Nonlinear Phenomena*, 45(1-3):357–378.
- Deshpande, A. and Triantaphyllou, E. (1998). A greedy randomized adaptive search procedure (grasp) for inferring logical clauses from examples in polynomial time and some extensions. *Mathematical and Computer Modelling*, 27(1):75 – 99.
- Ermentrout, G. B. and Edelstein-Keshet, L. (1993). Cellular automata approaches to biological modeling. *Journal of theoretical Biology*, 160(1):97–133.
- Gardner, M. (1970). Mathematical games. *Scientific American*, 222(6):132–140.



- Hillis, W. D. (1984). The connection machine: A computer architecture based on cellular automata. *Physica D: Nonlinear Phenomena*, 10(1-2):213–228.
- Hyndman, R. J. and Athanasopoulos, G. (2018). *Forecasting: principles and practice*. OTexts.
- Ilachinski, A. (2001). *Cellular automata: a discrete universe*. World Scientific Publishing Company.
- Kawaharada, A., Shoji, E., Nishimori, H., Awazu, A., Izumi, S., and Iima, M. (2016). Cellular automata automatically constructed from a bioconvection pattern. In *Recent Advances in Natural Computing*, pages 15–25. Springer.
- Manneville, P., Boccaro, N., Vichniac, G. Y., and Bidaux, R. (2012). *Cellular Automata and Modeling of Complex Physical Systems: Proceedings of the Winter School, Les Houches, France, February 21–28, 1989*, volume 46. Springer Science & Business Media.
- Margolus, N., Toffoli, T., and Vichniac, G. (1986). Cellular-automata supercomputers for fluid-dynamics modeling. *Physical Review Letters*, 56(16):1694.
- Nagel, K. and Schreckenberg, M. (1992). A cellular automaton model for freeway traffic. *Journal de physique I*, 2(12):2221–2229.
- Naghibi, F. and Delavar, M. (2016). Discovery of transition rules for cellular automata using artificial bee colony and particle swarm optimization algorithms in urban growth modeling. *ISPRS International Journal of Geo-Information*, 5(12):241.
- Nordahl, M. G. (1989). Formal languages and finite cellular automata. *Complex Systems*, 3(1).
- Peysakh, J. (1987). *Fast Algorithm to Convert Boolean Expression Into a DNF*. IBM Corporation, Thomas J. Watson Research Center.
- Rucker, R. and Walker, J. (2020).
- Sayama, H. (1998). Constructing evolutionary systems on a simple deterministic cellular automata space.

- 
- Simon, P. and Nagel, K. (1998). Simplified cellular automaton model for city traffic. *Physical Review E*, 58(2):1286.
- Tamayo, P. and Hartman, H. (1987). Cellular automata, reaction-diffusion systems, and the origin of life. In *ALIFE*, pages 105–124.
- Toffoli, T. (1984). Cellular automata as an alternative to (rather than an approximation of) differential equations in modeling physics. *Physica D: Nonlinear Phenomena*, 10(1-2):117–127.
- Vichniac, G. Y. (1984). Simulating physics with cellular automata. *Physica D: Nonlinear Phenomena*, 10(1-2):96–116.
- Wolfram, S. (1984). Universality and complexity in cellular automata. *Physica D: Nonlinear Phenomena*, 10(1):1 – 35.